

บทที่ 2
ทฤษฎี

ในบทนี้จะได้นำเสนอทฤษฎีที่เกี่ยวข้องกับแก้วเซรามิก ตั้งแต่ทฤษฎีที่ใช้ในการเกิดแก้วเซรามิกได้แก่ จลนพลาสตร์ของการเกิดแก้ว และการเกิดและเติบโตของผลึกในแก้วเซรามิก คุณสมบัติทางไฟฟ้าของแก้วเซรามิกที่มีองค์ประกอบของสารเฟร์โรอิเล็กทริก โดยในงานวิจัยเลือกสนิทคุณสมบัติทางเฟร์โรอิเล็กทริกและไดอิเล็กทริกเป็นสำคัญ เนื่องจากว่าสารประกอบโพแทสเซียมโซเดียม ในโอเบตจัดเป็นสารเฟร์โรอิเล็กทริกชนิดหนึ่งที่มีคุณสมบัติที่น่าสนใจในปัจจุบัน และสุดท้ายคือการนำเสนองานวิจัยที่เกี่ยวข้องกับแก้วเซรามิกโพแทสเซียมโซเดียม ในโอ-

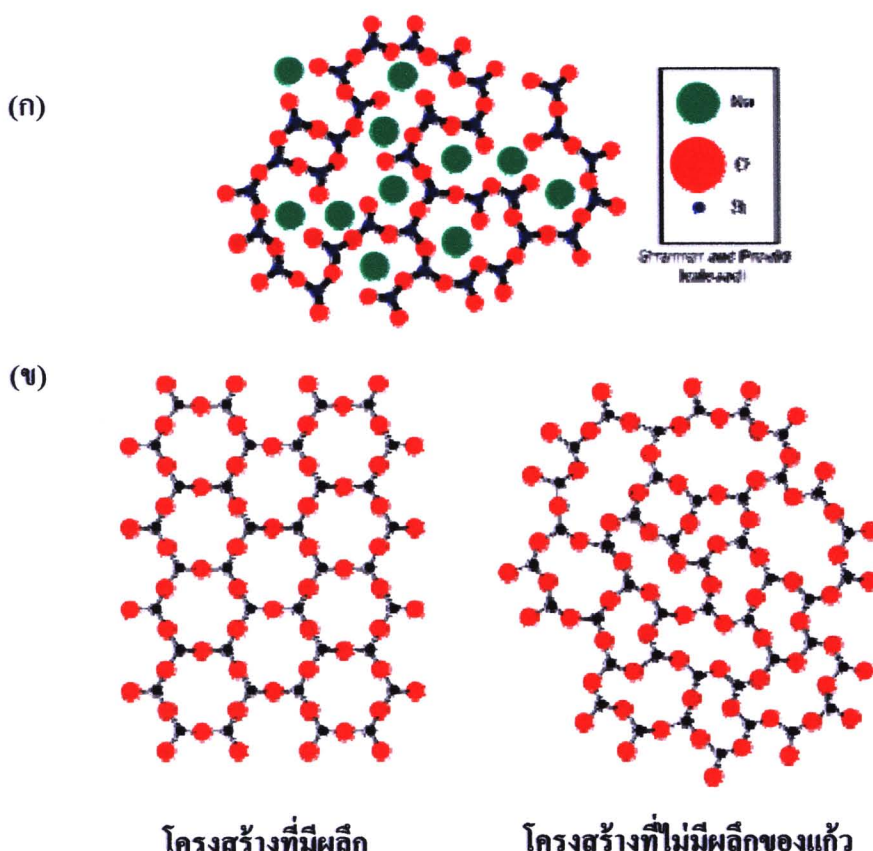
2.1 แก้ว

2.1.1 คำนิยามของแก้ว [1,2]

แก้วได้ถูกจัดเป็นสารประเภทหนึ่งที่มีความคล้ายคลึงกับเซรามิก และยังอาจจัดได้ว่าเป็นอีกสถานะหนึ่งของสาร นอกจากของเหลว (liquid) ของแข็ง (solid) และแก๊ส (gas) เนื่องจากมีความแข็งกรึงเหมือนของแข็งทั่วไป แต่มีโครงสร้างแบบอัมorphous คือไม่มีความเป็นผลึกเหมือนของเหลว ดังที่แสดงในรูปที่ 2.1 จากรูปที่ 2.1 (ก) แสดงโครงสร้างอัมorphousของแก้วโซดาไลม์ (sodalime) แก้วชนิดนี้ประกอบไปด้วย SiO_2 ประมาณ 70% และ Na_2O กับ CaO ที่มีอัตราส่วนที่เท่าๆ กัน จากรูปที่ 2.1 (ข) แสดงลักษณะอะตอมภายในแก้วเบรเยินเทียบกับโครงสร้างที่เป็นผลึกของสารเซรามิกที่มีการจัดเรียงตัวกันอย่างเป็นระเบียบ อะตอมของแก้วจะประกอบไปด้วยอะตอมของ Si และ O จัดตัวกันอย่างไม่เป็นระเบียบ หรือเรียกได้ว่าแก้วมีโครงสร้างที่จัดเรียงตัวกันแบบสุ่ม (random disordered arrangement) แก้วที่มีการใช้งานอยู่ในปัจจุบันมีคุณสมบัติที่แตกต่างกันตามความต้องการในการใช้งานซึ่งเราสามารถทำการปรับปรุงได้โดยการเติมสารต่างๆ เพื่อพัฒนาคุณสมบัติของแก้ว เช่นแก้วโนโรซิลิกेट คือแก้วที่สามารถทนความร้อนสูงได้เหมาะสมกับการใช้งานที่อุณหภูมิสูง เป็นต้น

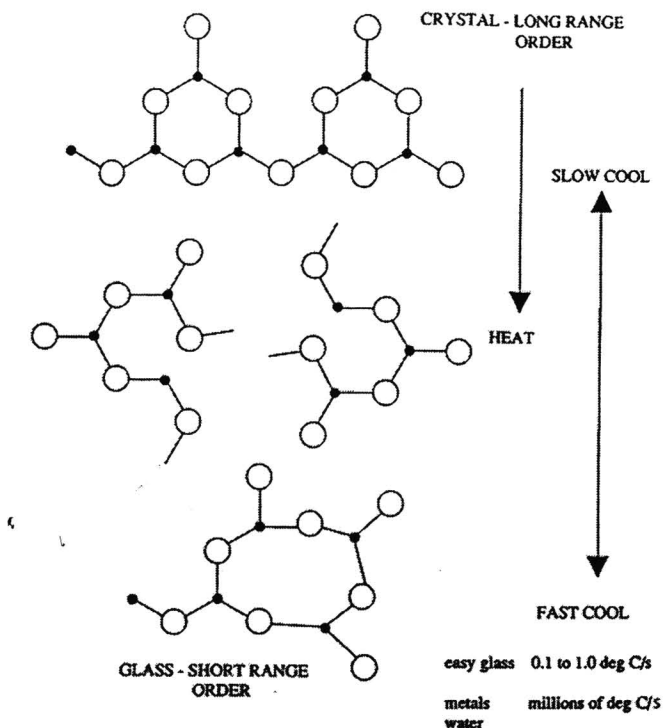
สมบัติของแก้วประกอบไปด้วยสมบัติทั้งของแข็งและของเหลวอยู่ด้วยกัน แต่แก้วมีลักษณะเด่นที่แยกออกจากของแข็งและของเหลวอย่างสิ้นเชิง เช่น แก้วมีสภาพความแข็งเกร็งเชิงกล (mechanical rigidity) เมื่อนอนของแข็ง แต่แก้วมีการเรียงตัวของอะตอม และโนเลกูลแบบสุ่มนึอน

ของเหลวดังที่กล่าวข้างต้น ดังนั้นนักวิทยาศาสตร์ที่มีความเชี่ยวชาญทางด้านแก้วหلامย่าท่านจึงได้พยากรณ์ให้คำนิยามที่เหมาะสมที่สุดสำหรับแก้ว ตามพื้นฐานความรู้และมุ่งมองที่ต่างกัน จนสรุปคำนิยามไว้เป็นมาตรฐานตาม ASTM standard ไว้ว่า “ แก้วคือผลิตภัณฑ์สารอนินทรีย์ของการหลอมซึ่งถูกทำให้เย็นด้วยเป็นสภาพแข็ง (rigid condition) โดยที่ไม่มีการตกผลึก ” สมบัติที่สำคัญที่สุดสำหรับแก้วคือ ความโปร่งใส ซึ่งได้มาจากการที่แก้วปราศจากขอบของเกรน (grain boundary) และสิ่งแปรปรวน (inclusion) ที่เป็นสาเหตุของการกระเจิงแสง (scattering of light) การกระเจิงของแสงทำให้รู้ว่าแก้วแตกต่างจากเซรามิก (ceramic) ทั้งนี้ เพราะเซรามิกโดยทั่วไปมีขอบของเกรนและรูพรุนจึงทำให้เซรามิกทึบแสง ถึงแม้ว่าเซรามิกส่วนใหญ่จะมีความเป็นฉนวนเหมือนกับแก้วที่มีช่องว่างของพลังงาน (energy gap) ระหว่างแถบนำ (conduction band) และแถบวาเลนท์ (valence band) ที่มากกว่า 1 อิเล็กตรอนโวลต์เหมือนกันกับแก้ว



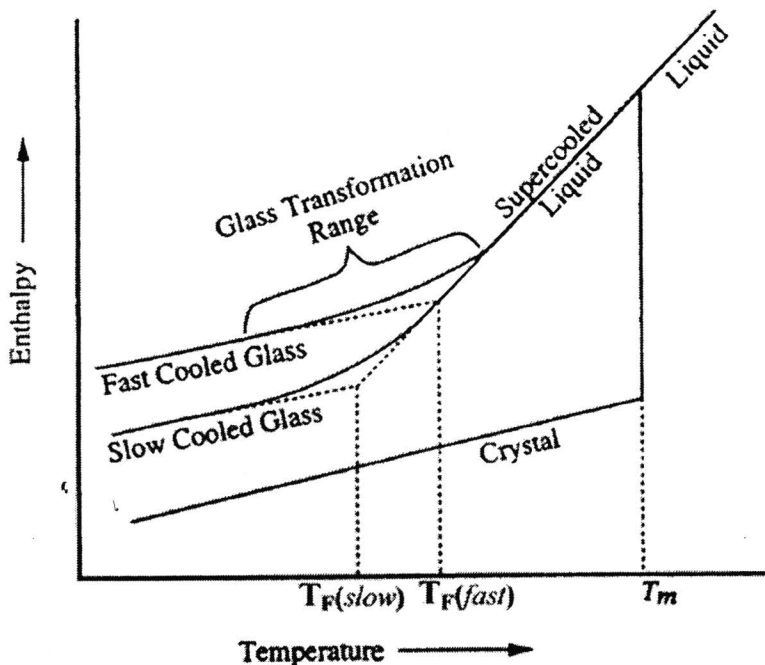
รูปที่ 2.1 (ก) ภาพโครงสร้างอะตอมของแก้ว (glass structures) ของแบบสองมิติ [3]

(ข) ภาพเปรียบเทียบโครงสร้างผลึก (crystal structures) ของโครงสร้างแบบผลึกและโครงสร้างที่ไม่มีผลึกของแก้วแบบสองมิติ [3]



รูปที่ 2.2 ภาพการเรียงตัวของอะตอมของพลีกและการเรียงตัวของอะตอมของแก้วหลังจากการทำให้เย็นตัวลง แบบช้า (slow cool) และแบบเร็ว (fast cool) จากของเหลวเมื่อได้รับความร้อน [1,2,4,5]

จากรูปที่ 2.2 จะเห็นได้ว่าการทำให้เกิดแก้ว (glass formation) มาจากการหลอมของของแข็งที่อุณหภูมิสูง และเมื่อทำให้เย็นตัวลง อะตอมของแก้วจะถูกดึงให้อยู่ในสถานะแบบไม่มีระเบียบ หรือแบบสุ่นก่อนที่อะตอมจะเรียงตัวกันอย่างเป็นพลีกที่สมบูรณ์ (perfect crystal arrangement) นอกจากนี้ แก้วยังมีพฤติกรรมที่ไม่เข้ากับเวลา คือ พฤติกรรมการเปลี่ยนแปลงไฟฟ้าของแก้ว (glass transformation behavior) ซึ่งจะขึ้นกับอุณหภูมิช่วงๆ หนึ่ง เรียกว่า ริเวณการเปลี่ยนไฟฟ้าของแก้ว (glass transformation) ดังรูปที่ 2.3



รูปที่ 2.3 ผลกระทบของอุณหภูมิต่ออ่อนหลายน์ของการหลอมเหลวในการเกิดแก้ว [1,2,4,5]

บริเวณที่มีการแปลงเฟสของแก้วเป็นช่วงอุณหภูมิที่แตกต่างกับการตกผลึก (crystallization) ของของแข็ง โดยทั่วไปที่เกิดขึ้น ณ อุณหภูมิค่าไอค่าหนึ่งหรือที่เรียกว่าจุดหลอมเหลวของสาร (melting point, T_m) ตามความจริงแล้วการเปลี่ยนของอ่อนหลายน์ (enthalpy) กับอุณหภูมิมีพุติกรรมเหมือนกับการเปลี่ยนแปลงปริมาตรกับอุณหภูมิ ในกรณีเป็นที่ทราบกันดีว่า ของเหลวส่วนมาก เมื่อได้รับความร้อนจะขยายตัว นั่นก็คือ ทั้งอ่อนหลายน์และปริมาตรจะเพิ่มขึ้นตามอุณหภูมิด้วย เมื่อของเหลวถูกลดอุณหภูมิลง ค่าอ่อนหลายน์จะลดลงตามไปด้วย จนเมื่อถึงจุดหลอมเหลวที่จะเริ่มเปลี่ยนสถานะจากของเหลวเป็นของแข็ง ซึ่งของแข็งนั้นมีการตกผลึก การเปลี่ยนแปลงอ่อนหลายน์หรือปริมาตรของสารก็จะเกิดขึ้นอย่างฉับพลันแบบไม่ต่อเนื่อง (discontinuous change) ซึ่งเกิดขึ้น ณ จุด T_m ของสาร หลังจากนั้นการเปลี่ยนแปลงก็เริ่มช้าลงอย่างคงที่ จนกระทั่งอุณหภูมิลดลงไปถึงอุณหภูมิห้อง (room temperature) และสารที่ได้จะกลายเป็นผลึกของแข็ง (crystalline solid) อย่างไรก็ตาม ถ้าของเหลวที่เย็นตัวแบบยิ่งๆ วน (supercooled liquid) และมีความหนืดสูง (high viscosity) จะพบว่ามีการเปลี่ยนแปลงของอ่อนหลายน์หรือปริมาตรเป็นแบบต่อเนื่อง (continuous) จนกระทั่งเมื่อถึงช่วงที่เรียกว่า บริเวณการเปลี่ยนแปลงสถานะของแก้ว (glass transformation range) การเปลี่ยนแปลงของอ่อนหลายน์เทียบกับอุณหภูมิจะ

เกิดขึ้นอย่างช้าๆ สังเกตได้จากความชันของกราฟเปลี่ยนไปจากช่วงการเย็นตัวลงอย่างชิ่งชวด จนกระทั่งถึงที่อุณหภูมิห้อง สารที่ได้เป็นของแข็งที่ไม่มีผลึก (non-crystalline solid) หรือแก้วน้ำเอง ดังนั้นการเปลี่ยนแปลงทางความร้อนของการเกิดแก้วกับการเกิดผลึกจึงแตกต่างกันโดยสิ้นเชิง จะเห็นได้จากการกลایเป็นวัสดุแข็งเกร็งแบบแก้วมักมีการเปลี่ยนแปลงต่อเนื่อง โดยช่วงบริเวณการแปลงเฟสของแก้วจะเป็นช่วงระหว่างความเป็นของแข็งและของเหลวต่างกันการ เป็นผลึกที่เกิดขึ้น ณ อุณหภูมิ T_m ของสาร ดังนั้นกาวิทยาศาสตร์จึงพยายามนิยามอุณหภูมิค่าหนึ่งที่ เรียกว่าอุณหภูมิฟิกทิฟ (Fictive temperature; T_F) ขึ้นมาเพื่อใช้แทนช่วงบริเวณการเปลี่ยนสถานะ ของแก้ว ซึ่งก็คือจุดตัดที่ลากมาจากเส้นกราฟช่วงของเหลวที่เย็นตัวแบบชิ่งชวด และเส้นกราฟช่วงที่ แก้วเริ่มเย็นตัวลงอย่างช้าๆ ซึ่ง ณ อุณหภูมนี้เอง โครงสร้างของแก้วจะเหมือนกับของเหลวที่อยู่ใน ภาวะที่สมดุล (equilibrium liquid) ดังนั้นโครงสร้างแก้วก็น่าจะแตกต่างกัน ถ้ามี T_F ต่างๆ กันถึงแม้ จะเป็นแก้วชนิดเดียวกันก็ตาม กล่าวคือ เป็นแก้วที่ได้จากการทำให้แก้วเย็นตัวลงในอัตราที่เร่งที่ ต่างกันแบบช้าๆ (slow cooled glass) หรือแบบรวดเร็ว (fast cooled glass) ก็จะได้แก้วที่มีอ่อนหัด- ปีหรือปรินิตรสุดท้ายต่างกันในที่สุด ซึ่งเป็นผลที่ทำให้แก้วที่มีการเย็นตัวอย่างช้าๆ จะมีความ เสถียรในโครงสร้างมากกว่าแก้วที่เย็นตัวอย่างรวดเร็ว ดังที่ได้กล่าวมาแล้ว เนื่องจากการเปลี่ยน สถานะของแก้วเกิดขึ้นเป็นช่วงของอุณหภูมิ ไม่ใช้อุณหภูมิใดอุณหภูมิหนึ่ง แต่เพื่อความสะดวกในการ ใช้เทอมที่เหมาะสม จึงมีการนิยามอุณหภูมิการเปลี่ยนสถานะของแก้ว (glass transformation temperature หรือ glass transition temperature; T_g) ขึ้น ซึ่งคืออุณหภูมิที่เส้นกราฟของ การ วิเคราะห์เชิงความร้อน หรือเส้นกราฟของการขยายตัวทางความร้อนของแก้วที่มีการเปลี่ยนแปลง นั่นเอง

ในเรื่องของความสามารถในการทำให้เกิดแก้ว (glassforming ability) และความเสถียร (glass stability) ของแก้วขึ้นอยู่กับเรื่องของการตกผลึก ถ้าแก้วมีความสามารถในการที่จะเกิดแก้ว ได้ดีจะต้องมีความด้านทานในการตกผลึกในขั้นตอนที่น้ำแก้วหลอมเย็นตัวลงได้ดี ในขณะที่ความ เสถียรของแก้วนั้นขึ้นอยู่กับความด้านทานต่อการตกผลึกของแก้วในขั้นตอนที่ให้ความร้อนกับแก้ว จนหลอม ดังนั้น ความสามารถในการเกิดแก้วได้ดีจะมีความสำคัญต่อกระบวนการการหลอมแก้ว ในเมืองต้น ส่วนความสามารถเสถียรของแก้วจะมีความสำคัญต่อกระบวนการการรีรูปใหม่ของแก้วที่มีอยู่ แล้ว (reforming of an existing glass)

2.1.2 ทฤษฎีจลนพลาสต์ของการทำให้เกิดแก้ว (Kinetic theories of glass formation) [1,2,4,5]

ทฤษฎีจลนพลาสต์ของการทำให้เกิดแก้วระบุว่าสุดทุกชนิดสามารถทำให้เกิดแก้วได้ ถ้าสามารถทำให้เย็นตัวได้อย่างรวดเร็วพอที่จะหลีกเลี่ยงการตกผลึก ดังนั้น ทฤษฎีนี้จึงให้ความสำคัญกับกลไกในการตกผลึกของสาร ซึ่งเป็นการรวมกระบวนการที่สำคัญสองกระบวนการ เข้าด้วยกันคือ การเกิดนิวเคลียตอฟลีช (nucleation) และการเติบโตของผลึก (crystal growth)

2.1.2.1 การเกิดนิวเคลียตอฟลีช (nucleation)

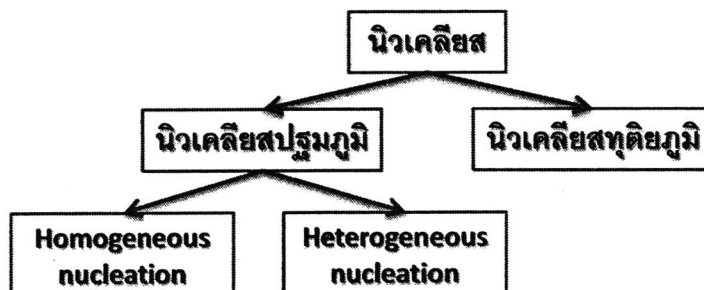
การเกิดนิวเคลียตอฟลีชแบ่งออกเป็นสองชนิดหลักด้วยกันคือ

1. การเกิดนิวเคลียตอฟลีชปฐมภูมิ (primary nucleation) คือ กรณีการเกิดนิวเคลียตอฟลีชของผลึกทุกกรณีในระบบที่ไม่ประกอบไปด้วยสารที่เป็นผลึกอยู่ก่อน ซึ่งแบ่งออกเป็นชนิดย่อย คือ

ก. การเกิดนิวเคลียตอฟลีชแบบเป็นเนื้อดีயวกัน (Homogeneous nucleation) ซึ่งถึงการเกิดนิวเคลียตอฟลีชที่เกิดขึ้นโดยสิ่งที่มีอยู่ก่อนที่ไม่เป็นเนื้อดีယวกันกับเนื้อแก้วหลอม

ข. การเกิดนิวเคลียตอฟลีชแบบไม่เป็นเนื้อดีယวกัน (Heterogeneous nucleation) เกิดขึ้นเมื่อมีสิ่งที่มีอยู่ก่อนที่ไม่เป็นเนื้อดีယวกันกับแก้วหลอม อาทิ ผนังเตา (furnace wall) สิ่งแปรปรวนที่ไม่ละลาย (insoluble inclusions) ในน้ำแก้วหลอม หรือแม้กระทั่งพื้นผิวอิสระ (free surface)

2. การเกิดนิวเคลียตอฟลีษาดิบภูมิ (secondary nucleation) คือ การที่มีผลึกปรากฏในระบบที่มีการอิ่มตัวอย่างยิ่งวดเพื่อสร้างนิวเคลียตอฟลีษาดิบภูมิต่อไป ซึ่งแผนภาพแสดงชนิดของการเกิดนิวเคลียตอฟลีชได้แสดงไว้ดังรูปที่ 2.4



รูปที่ 2.4 แผนภาพแสดงชนิดของการเกิดนิวเคลียตอฟลีช (nucleation)

ในเรื่องของการศึกษาการเกิดนิวเคลียสของผลึก ตามหลักการแล้วจะเริ่มต้นจากการเกิดนิวเคลียสทรงกลม (a spherical nucleus) ก่อน และในการเกิดนิวเคลียสของผลึกนั้น คำว่า นิวเคลียสในที่นี่คือนิวเคลียสของผลึก (crystal nucleus) ซึ่งแตกต่างไปจากนิวเคลียสของอะตอม (atomic nucleus) โดยการเกิดนิวเคลียสผลึกนั้นจะถูกต่อต้านด้วยเครื่องขวางกั้นสองชนิดคือ

1. เครื่องขวางกั้นอุณหพลศาสตร์ (thermodynamic barrier) ซึ่งเกี่ยวข้องกับพลังงานอิสระ (free energy) ที่เปลี่ยนไปในระบบเมื่อมีการเกิดนิวเคลียสเกิดขึ้น

2. เครื่องขวางกั้นจลนพลศาสตร์ (kinetic barrier) เกิดขึ้นมาเนื่องมาจากการต้องการในการเคลื่อนที่ของมวลหรือการจัดเรียงตัวใหม่ในช่องว่าง เพื่อที่จะยอมให้การเดินทางของอนุภาคที่เป็นระเบียน(หรือผลึก) เกิดขึ้นได้ จากของเหลวที่ไม่เป็นระเบียน

ดังนั้นการเปลี่ยนแปลงสองชนิดของพลังงานในระบบคือ

ก. เครื่องขวางกั้นอุณหพลศาสตร์

ข. พลังงานพื้นผิว (surface energy)

การจัดเรียงตัวของอะตอมในนิวเคลียสจะทำให้พลังงานอิสระเชิงปริมาตร (volume free energy) ลดลงแต่พลังงานพื้นผิวของการเกิดผิวร่วมใหม่ (a new interface) จะเพิ่มขึ้น ดังนั้น พลังงานอิสระที่เกินมาทั้งหมด (the overall excess free energy) จะมีค่าเป็นไป ดังสมการที่ 2.1

$$\Delta G = \Delta G_{\text{surface}} + \Delta G_{\text{volume}}$$

$$\Delta G = 4\pi r^2 \gamma + \frac{4}{3} \pi r^3 \Delta G_v \quad (2.1)$$

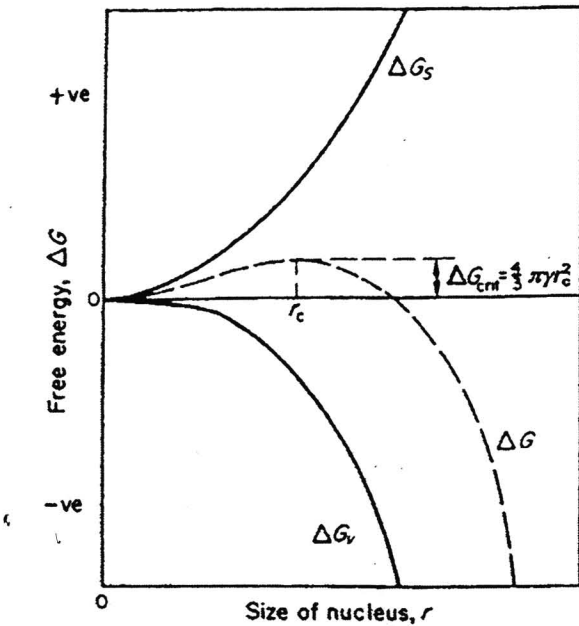
โดยที่ ΔG คือ พลังงานอิสระที่เปลี่ยนไปต่อหน่วยปริมาตร

γ คือ พลังงานการเกิดผิวร่วม (the interfacial energy)

ΔG_v มีปริมาณเป็นลบ (a negative quantity)

ΔG_s มีปริมาณเป็นบวก (a positive quantity)

ซึ่งเมื่อทำการสร้างกราฟระหว่างพลังงานอิสระที่เปลี่ยนไปทั้งหมดกับขนาดของนิวเคลียส จะได้กราฟดังรูปที่ 2.5



รูปที่ 2.5 กราฟระหว่างพลังงานอิสระที่เปลี่ยนไปในการเกิดนิวเคลียสฟลัก (ΔG) กับขนาดของนิวเคลียส (r)

จากรูปที่ 2.5 แสดงให้เห็นว่าพลังงานอิสระที่เปลี่ยนแปลงไปจะผ่านจุดสูงสุดที่ r_c ที่เรียกว่า **นิวเคลียสวิกฤต** (the critical nucleus)

ถ้าหาอนุพันธ์ของ ΔG (สมการที่ 2.1) ด้วยขนาดของนิวเคลียส r และให้มีค่าเท่ากับศูนย์จะได้

$$\frac{d\Delta G}{dr} = 0 \quad (2.2)$$

จะได้ดังสมการที่ 2.3

$$\frac{d\Delta G}{dr} = 8\pi\gamma + 4\pi r^2 \Delta G_v = 0 \quad (2.3)$$

เมื่อทำการแก้สมการจะได้ r_c ดังสมการที่ 2.4

$$r_c = \frac{-2\gamma}{\Delta G_v} \quad (2.4)$$

และพลังงานอิสระที่จุดวิกฤต (ΔG_{crit}) จะสามารถหาได้จากสมการที่ 2.3 และ 2.4 ดัง สมการที่ 2.5

$$\Delta G_{crit} = \frac{16\pi\gamma^3}{3(\Delta G_V)^2} = \frac{4\pi\gamma r_c^2}{3} \quad (2.5)$$

ขนาดของนิวเคลียลส์วิกฤต r_c เป็นขนาดที่ต่ำสุดที่เป็นไปได้ของนิวเคลียลส์ที่เสถียร (a stable nucleus) โดยที่

$r > r_c$ เป็นนิวเคลียลส์เสถียร และจะมีการเติบโตต่อไป

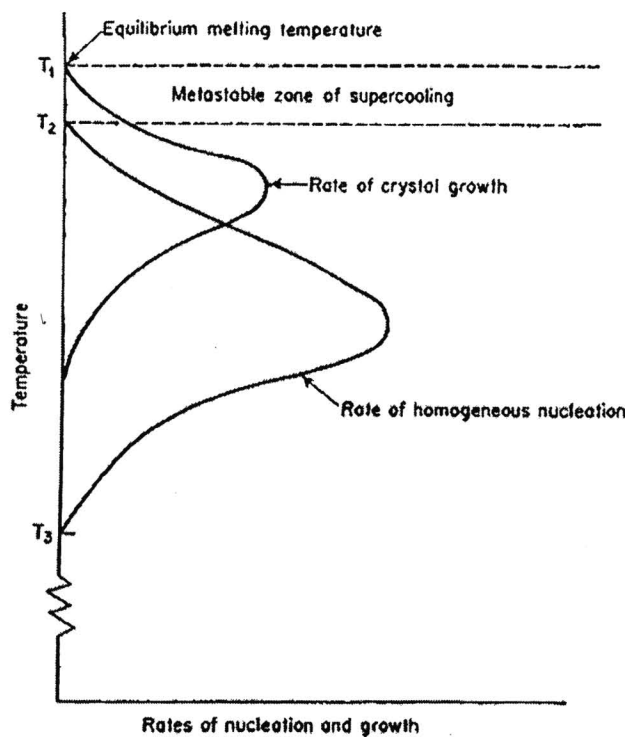
$r < r_c$ เป็นนิวเคลียลส์ที่ไม่เสถียร (unstable nucleus) จะละลายหรือระเหยหายไป (dissolve or evaporate)

2.1.2.2 การเติบโตของผลึก (crystal growth)

เมื่อนิวเคลียลส์เสถียรเกิดขึ้นในระบบอิ่มตัวเยิ่ง化 (a supersaturated system) หรือระบบเย็นตัวเยิ่ง化 (a supercooled system) นิวเคลียลส์เสถียรเหล่านั้นจะเริ่มเติบโตเป็นผลึกที่ในขนาดที่มองเห็นได้ โดยได้มีการเสนอความคิดเกี่ยวกับกลไกของการเติบโตของผลึก (crystal growth mechanisms) หลายกลไกดังจะยกตัวอย่างต่อไปนี้

1. ทฤษฎีพลังงานพื้นผิว (surface energy theories) มีพื้นฐานมาจากสมมุติฐานที่ว่า “ผลึกจะเติบโตเป็นรูปร่างที่มีพลังงานพื้นผิวต่ำที่สุด”
2. ทฤษฎีชั้นคุณซับ (Adsorption layer theories) แนวคิดหลักของกลไกการเติบโตของผลึกขึ้นอยู่กับ “การเกิดขึ้นของชั้นคุณซับของอะตอมที่ของตัวละลาย (solute) หรือไม่เลกุณบนหน้าสัมผัสของผลึก (a crystal face)”
3. ทฤษฎี kinematics (Kinematic theories) เกี่ยวข้องกับกระบวนการ 2 กระบวนการในชั้นของผลึกที่เติบโต คือ
 - a. การให้กำเนิดขึ้น (steps) จากแหล่งกำเนิดบางอย่างบนหน้าสัมผัสของผลึก
 - b. มีการเคลื่อนที่ของชั้นผ่านหน้าสัมผัสของผลึก
4. ทฤษฎีปฏิกิริยาการแพร่ (Diffusion reaction theories) ได้มีการสันนิษฐานในเรื่องของการเติบโตของผลึกว่าเกิดจากการที่ “สารที่ตกตะกอนอย่างต่อเนื่องบนหน้าสัมผัสผลึกด้วยอัตราเร็วที่แปรผันตามกับความเข้มข้นระหว่างจุดที่เกิดการตกสะสมกับเนื้อของสารละลาย (bulk of the solution) ”

จากการพิจารณาของเหลวที่มีความหนืดสูง ทำให้สามารถเปลี่ยนแผนภาพเดิร่างໄโคะแกร์มของอัตราการนิวเคลียสผลึก (nucleation rate) และอัตราการเติบโตของผลึก (crystal growth rate) เทียบกับอุณหภูมิได้ดังรูปที่ 2.6



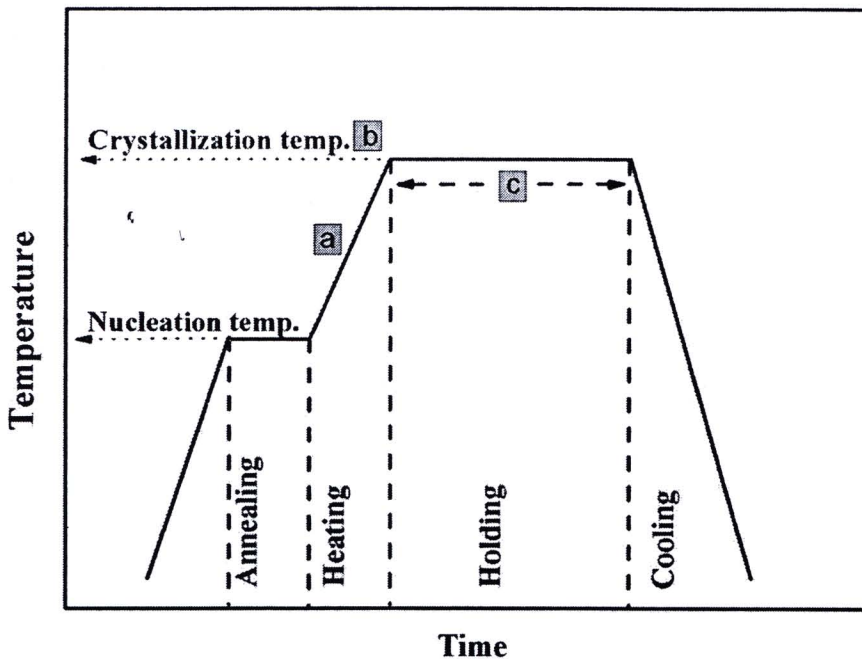
รูปที่ 2.6 อัตราการเกิดนิวเคลียสและการเติบโตของผลึกเทียบกับอุณหภูมิที่เปลี่ยนไปของของเหลวที่มีความหนืดสูง (viscous liquid)

จากรูปที่ 2.6 จะเห็นได้ว่าอัตราการเติบโตของผลึกจะเริ่มเกิดขึ้นที่อุณหภูมิ T_1 ที่เรียกว่า อุณหภูมิหลอมเหลวสมดุล (equilibrium melting temperature) ในขณะที่อัตราการเกิดนิวเคลียสผลึกจะเริ่มเกิดขึ้นที่อุณหภูมิต่ำกว่า (T_2) ทำให้เกิดโซนกึ่งเสถียรของการเย็นตัวยิ่งယวค (metastable zone of supercooling) ระหว่าง T_1 และ T_2 ซึ่งเป็นโซนที่ไม่มีการเกิดนิวเคลียสของผลึกในของเหลวหรือน้ำแข็ง เมื่อของเหลวถูกทำให้เย็นตัวผ่านโซนกึ่งเสถียรนี้จากช่วงอุณหภูมิ T_1 ถึง T_2 ลงอย่างรวดเร็วจึงมีโอกาสที่ของเหลวจะไม่เกิดการแตกผลึกและกลายเป็นแก้วได้ สารที่มีโซนกึ่งเสถียรของ การเย็นตัวยิ่งယวคที่กว้าง ส่วนใหญ่แล้วเป็นสารที่มีความหนืดสูง (viscous liquid)



2.1.3 กลไกควบคุมการตกผลึก

กลไกที่ใช้ควบคุมในการตกผลึกคือการใช้ความร้อนหรือ heat treatment เพื่อเปลี่ยนให้แก้วธรรมดากลายเป็นแก้วเซรามิกซึ่งจะให้คุณสมบัติที่ดีกว่าแก้วธรรมด้า กระบวนการให้ความร้อนกับแก้วเพื่อใช้ในการปัลอกผลึกมีขั้นตอนดังที่แสดงในรูปที่ 2.7



รูปที่ 2.7 กราฟแสดงกระบวนการให้ความร้อนในการปัลอกผลึกของแก้ว (heat treatment) a. คือ อัตราการเพิ่มขึ้นของอุณหภูมิ (heating rate) b. คืออุณหภูมิที่ใช้ในการปัลอกผลึก (crystallisation temperature) และ c. คือระยะเวลาที่ใช้ในการปัลอกผลึก (dwell time)

อุณหภูมิที่เหมาะสมสำหรับการเกิดนิวเคลียตัวรูจอยู่ระหว่างอุณหภูมิการเปลี่ยนเฟสของแก้ว (glass transition temperature; T_g) หรือในช่วงอุณหภูมิที่ต่ำกว่าอุณหภูมนี้ไม่เกิน 50 องศาเซลเซียส อย่างไรก็ตามในบางงานวิจัยก็ไม่ได้ให้ความสนใจกับขั้นตอนการเกิดนิวเคลียตนี้ นิวเคลียสที่เหมาะสมจะได้จากขั้นตอนการให้ความร้อนแก่แก้วไปที่อุณหภูมิการตกผลึก (Crystallization temperature) ซึ่งจะทำให้นิวเคลียสที่เกิดใหม่มีการเดินโดยเกิดขึ้นในเนื้อแก้ว การเดินโดยจะเกิดขึ้นได้มากน้อยเพียงใดก็หนึ่งจากจะต้องสนใจเรื่องของอุณหภูมิที่เหมาะสมแล้วระยะเวลาที่ใช้ในการปัลอกผลึก (dwell time) ก็ยังเป็นสิ่งสำคัญที่ใช้ควบคุมขนาดของผลึกด้วย

สำนักงานคณะกรรมการวิจัยแห่งชาติ

ห้องสมุดงานวิจัย

วันที่..... 21 S.A. 2554

เลขทะเบียน..... 242976

เลขเรียกหนังสือ.....

เช่นกัน เพื่อไม่ให้ผลึกมีขนาดที่ไม่เหมาะสม จึงไม่ควรใช้ระยะเวลาในการปัลอกผลึกมากหรือน้อยจนเกินไป

2.2 แก้วเซรามิก

2.2.1 ความเป็นมาของแก้วเซรามิก [2]

ในอดีตเป็นที่ทราบกันดีว่าแก้วสามารถถูกผลักได้หากมีการเลือกใช้ความร้อนที่อุณหภูมิและระยะเวลาที่เหมาะสม แต่ยังไม่มีการพัฒนาระบบการศึกษาและสร้างแก้วเซรามิกที่แน่นอน ทำให้กระบวนการที่ใช้ในการสร้างระบบแก้วเซรามิกที่เหมาะสมนั้นยังไม่เกิดขึ้น จนกระทั่งในช่วงคริสต์ศักราช 1950 แก้วเซรามิกได้ถือกำเนิดขึ้นด้วยความบังเอิญของสแตนเลส โคนัล สโต๊ก (Stanley Donald Stookey) นักประดิษฐ์ชาวอเมริกา จากบริษัทคอร์นนิง (Corning glass work) บริษัทผู้ผลิตแก้วรายใหญ่ ที่ได้ค้นพบแก้วพิเศษที่มีคุณสมบัติของเซรามิกหรือที่เรียกว่าแก้วเซรามิก สโต๊กเป็นนักวิทยาศาสตร์สาขาแก้วเคมีที่มีชื่อเสียง ในตอนแรกนั้นเขาไม่ได้มีความสนใจในเซรามิกมากนัก สโต๊กมีความสนใจที่จะพัฒนาคุณสมบัติเชิงแสงของแก้วด้วยการถูกผลักของอนุภาคเงินในแก้วเพื่องานทางด้านภาพถ่าย โดยเขาเลือกใช้แก้วระบบลิเทียมซิลิกेटในการทดลองตกผลักของอนุภาคเงินนี้องจากความสามารถพัฒนาความทนทานต่อเคมีของแก้วได้ ในการทดลองปกตินั้นสโต๊กจะใช้ความร้อนเหนืออุณหภูมิแทรนซิชั่นเล็กน้อยคือประมาณ 450 องศาเซลเซียสในการทำให้แก้วมีความสามารถส่องผ่านแสงอัลตราไวโอเลตได้ แต่ด้วยความผิดพลาดในการปรับตั้งอุปกรณ์ เขายังได้บังเอิญใช้ความร้อนที่สูงประมาณ 850 องศาเซลเซียส ซึ่งเป็นอุณหภูมิที่ขาดความจำเป็น ทำให้แก้วที่ทดลองและมีคุณสมบัติที่ไม่ดี แต่ผลที่ได้กลับตรงกันข้ามกับสิ่งที่สโต๊กคาดไว้ ขึ้นงานแก้วที่ได้นั้นกลับมีลักษณะที่ขาวทึบและไม่ได้มีการเปลี่ยนแปลงรูปร่างเนื่องจากการทดลองอย่างใดซึ่งเป็นคุณสมบัติที่พนได้ในเซรามิก และภายหลังการทดสอบเชิงกลก็ทำให้ทราบว่าขึ้นงานแก้วนี้มีคุณสมบัติที่ดีเทียบเท่าหรือมากกว่าโลหะ จากการทดลองที่บังเอิญก็ได้พบร่องรอยที่พนนี้คือผลึกลิเทียมอะลูมิโนซิลิกेट (lithium aluminosilicate crystal) ตามส่วนผสมที่ผสมเข้าไปและจากการรายงานบ่งชี้ว่าแก้วเซรามิกนี้มีการขยายตัวทางความร้อนค่อนข้างต่ำ (low thermal expansion) องค์ประกอบเฟสภายในคือเบตเตาส์ปอยดูเมน (β -spodumene) และการเกิดนิวเคลียสภายในแก้วเซรามิกนั้นไม่ได้เกิดมาจากอนุภาคของเงินแต่เป็นพลマจากอนุภาคของลิเทียมที่เป็นปัจจัยหลักของการก่อเกิดของนิวเคลียสของระบบแก้วอะลูมิโนซิลิกेट หลังจากนั้นสโต๊กได้ทดลองเติมสารอื่น อาทิ ซิงค์ซัลไฟด์ (zinc sulfide) หรือไททาเนียม (titania) ผลที่ได้มา สำหรับแก้วที่ได้รับการเติมไททาเนียมคือแก้วที่ได้มีความแข็งแรงและทนทานต่อการเปลี่ยนแปลงของอุณหภูมิได้

ค่อนข้างสูง ภายหลังการศึกษาและพัฒนาคุณสมบัตินานร่วมสองปี แก้วเซรามิกนี้ก็สามารถขายออก สู่ท้องตลาดในการนำไปใช้งานเป็นภาชนะทำอาหารที่มีความสามารถในการเปลี่ยนแปลงของ อุณหภูมิได้ดี เช่น เมื่อนำภาชนะแก้วเซรามิกนี้ออกจากตู้เย็นแล้ว ก็สามารถนำไปให้ความร้อนสูงได้ ทันที หรือสามารถนำเข้าในโคลเวฟอุ่นอาหาร ได้โดยไม่ต้องเปลี่ยนภาชนะ โดยมีชื่อทางการค้าว่า คอร์นิ่งแวร์ (CORNINGWARE®) นอกจากนี้ยังนำไปประยุกต์ใช้งานทางด้านการทหาร เช่นการทำ หัวจรวดมิสไซล์ที่มีความแข็งแรงและทนความร้อนสูง ได้ดีอีกด้วย ด้วยจุดเริ่มต้นดังกล่าวทำให้ การศึกษาแก้วเซรามิกเริ่นขึ้นและเป็นที่แพร่หลายในปัจจุบัน

2.2.2 ทฤษฎีของแก้วเซรามิก [2]

ลักษณะที่สำคัญของแก้วเซรามิกคือกระบวนการเกิดนิวเคลียสและการเติบโตของผลึก เนื่องจากน้ำแก้วที่ได้จากการหลอมน้ำมีความหนืดที่ค่อนข้างสูง ดังนั้นกระบวนการแพร่และ กระบวนการจัดเรียงตัวอะตอมใหม่จะเกิดขึ้นอย่างช้าๆ ด้วยลักษณะนี้ทำให้เราสามารถควบคุม กระบวนการตกผลึกและการเติบโตของผลึกได้ การทำให้เย็นตัวลงอย่างรวดเร็วของน้ำแก้ว (quenching) จะนำมาใช้ช่วยลดการเกิดผลึกขึ้นในระหว่างการเย็นตัว อย่างที่ได้กล่าวไว้ก่อนหน้านี้ การเย็นตัวอย่างช้าๆ จะทำให้แก้วสามารถจัดระเบียบโครงสร้างและทำให้เกิดผลึกภายใน แก้วที่จะนำไปสร้างเป็นแก้วเซรามิกที่ดีจึงควรเป็นแก้วที่โครงสร้างไม่เป็นระเบียบมากกว่า

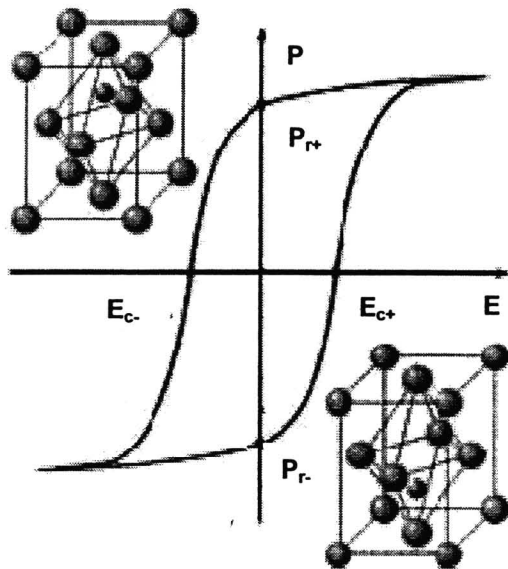
ปรากฏการณ์ที่สำคัญที่พบได้ในแก้วเซรามิก คือการแยกชั้นของเฟสสองชนิดในเนื้อแก้ว (phase separation) ที่จะส่งผลอย่างมากต่อการเกิดแก้วเซรามิกและความเสถียรของแก้ว เพราะแก้ว หลอมเป็นตัวทำละลายที่สำคัญสำหรับการออกไซด์ จึงทำให้เราสามารถสร้างระบบแก้วเซรามิกได้จาก สารธาตุชนิด เกิดเป็นแก้วเซรามิกหลากหลายระบบให้เลือกศึกษา และยังทำให้ได้แก้วเซรามิกที่มี เฟสของผลึกหลากหลายชนิด เช่น เฟสกึ่งเสถียร (metastable phase) และสารละลายของแข็ง (solid solution) เป็นต้น ปกติแก้วเซรามิกที่มีขนาดเกรนที่เล็กกว่า 1 ไมครอน จะทำให้แก้วเซรามิกที่มี คุณสมบัติที่เพิ่มขึ้นด้วย เช่นมีความแข็งแรงเชิงกลที่สูงและทนต่อการแตกหักได้ เกรนที่มีความ เล็กจะอิ่มคืนเมื่อที่ทำให้แก้วเซรามิกมีความแข็งแรงมากกว่าแก้วปกติกับเซรามิกแบบดั้งเดิม ด้วย เหตุผลดังกล่าวการควบคุมปริมาณการเกิดผลึกในแก้วที่ได้นำไปสู่การศึกษาถึงความเสียหายเชิงกล (mechanical failure) และการศึกษาถึงคุณสมบัติที่เกี่ยวข้องการแพร่เช่น การพาของไอออน (ionic conductivity) ในแก้วเซรามิกเป็นต้น

โดยปกติแล้วแก้วเซรามิกจะไม่โปร่งใสในช่วงแสงขาว (visible light) แต่อย่างไรก็ตาม ก็ สามารถสร้างแก้วเซรามิกที่มีความใสได้ถ้าผลึกในเนื้อแก้วมีขนาดที่เล็กกว่าความยาวคลื่นของช่วง แสงขาว หรือมีค่าความแตกต่างของดัชนีหักเหแสงของแก้วใสและผลึกที่ต่ำมากๆ นั่นเอง

2.3 เฟร์โรอิเล็กทริก (Ferroelectric) [6,7,8,9]

จาก 20 point group ของผลึกที่ไม่มีสมมาตรของศูนย์กลาง (noncentrosymmetric) ที่เป็นวัสดุเพียงครึ่งเดียวจะมีอยู่ 10 point group ที่มีข้อ (polar) และเกิดได้โดยไม่มีตัวเองแม้มิ่นได้รับสนามไฟฟ้ากระทำ ซึ่งเรียกว่าการคุณภาพนี้ว่าโพลาไรเซชันแบบเกิดขึ้นได้เอง (spontaneous polarization) โดยที่ผลึกมีข้อเหล่านี้จะมีสภาพเป็นเพียงครึ่งเดียวของผลึกที่มีในกรณีที่ให้สนามไฟฟ้าแรงพอที่ทำให้ทิศทางของเวกเตอร์โพลาไรเซชันเปลี่ยนแปลงได้ ซึ่งสารใน point group นี้เรียกว่าเฟร์โรอิเล็กทริก กล่าวคือสารเฟร์โรอิเล็กทริกทุกชนิดมีสภาพเป็นเพียงครึ่งเดียวของผลึกแต่สารเพียงครึ่งเดียวจะเป็นจังหวะที่มีสภาพเป็นเฟร์โรอิเล็กทริก

ผลึกเฟร์โรอิเล็กทริกจะแสดงสมบัติของโมเมนต์คู่คบ (dipole moment) ถึงแม้ว่าจะไม่มีสนามไฟฟ้าแล้วก็ตาม จากเหตุผลที่จุดศูนย์กลางประจุบวกของผลึกไม่ได้อยู่ในตำแหน่งเดียวกับประจุลบ มีผลทำให้เกิดโมเมนต์คู่คบด้วยอิทธิพลของผลึกในสถานะเฟร์โรอิเล็กทริก และเมื่อนำสารเฟร์โรอิเล็กทริกมาอยู่ในสนามไฟฟ้าพร้อมทั้งลดสนามไฟฟ้าลงจนเป็นศูนย์ จะพบว่าโพลาไรเซชันในสารเฟร์โรอิเล็กทริกจะไม่เป็นศูนย์ แต่มักจะเป็นศูนย์เมื่อ $E = E_c$ ดังแสดงในรูป 2.8 ซึ่งแสดงให้เห็นว่าสารนี้มีโมเมนต์คู่คบด้วยอิทธิพลของผลึก หรือแสดงให้เห็นว่าสารนั้นแสดงสภาพเป็นเฟร์โรอิเล็กทริกโดยไม่ต้องใช้สนามไฟฟ้าเลย



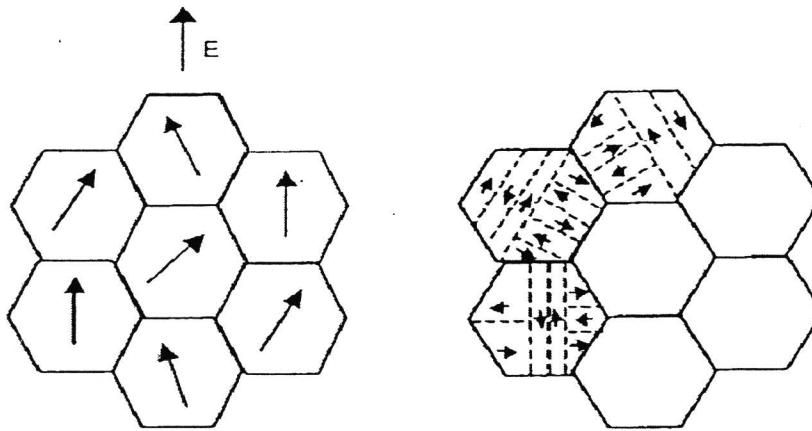
รูปที่ 2.8 แสดงความสัมพันธ์ระหว่างสนามไฟฟ้า (E) กับโพลาไรเซชัน (P) ของสารเฟร์โรอิเล็กทริก [6]

2.3.1 อุณหภูมิคูรี และการเปลี่ยนเฟส (Curie temperature and phase transition) [6,10]

การเปลี่ยนแปลงของเฟสในสารเฟร์โรอิเล็กทริก จะสอดคล้องกับการเกิดการเปลี่ยนแปลงของโครงสร้างผลึก ซึ่งเป็นผลจากการเปลี่ยนแปลงของอุณหภูมิ และโพลาไรเซชันทางไฟฟ้าของวัสดุ อุณหภูมิคูรี (Curie temperature, T_c) เป็นอุณหภูมิที่เกิดการเปลี่ยนแปลงโครงสร้างของเฟส จากพาราอิเล็กทริกเฟส (paraelectric phase) ที่อุณหภูมิ $T > T_c$ ซึ่งวัสดุจะไม่แสดงสมบัติความเป็นโพลาไรเซชันแบบเกิดขึ้นเอง (spontaneous polarization) ไปยังเฟสของเฟร์โรอิเล็กทริก (ferroelectric phase) ที่อุณหภูมิ $T < T_c$ ซึ่งวัสดุจะแสดงสมบัติโพลาไรเซชันแบบเกิดขึ้นเอง อีกทั้งค่าสภาพยอนสัมพัทธ์ (relative permittivity) ของวัสดุจะมีการเปลี่ยนแปลงและมีค่าเพิ่มขึ้นสูงสุดที่อุณหภูมิคูรีด้วย ที่อุณหภูมิที่สูงกว่าอุณหภูมิคูรี โครงสร้างเฟสจะมีลักษณะเป็นพาราอิเล็กทริก และจะไม่มีการแสดงสมบัติความเป็นเฟร์โรอิเล็กทริกใดๆ ออกมานะ ซึ่งโครงสร้างเฟร์โรอิเล็กทริกจะเกิดขึ้นจากการบิดเบี้ยว หรือเสียรูปร่างไปของโครงสร้างพาราอิเล็กทริก โดยที่โครงสร้างเฟร์โรอิเล็กทริกจะมีความสมมาตรของโครงสร้างที่น้อยกว่าโครงสร้างพาราอิเล็กทริก ที่อุณหภูมิต่ำกว่าอุณหภูมิคูรี ไอออนจะมีการเคลื่อนที่ในตำแหน่งที่สมดุล ซึ่งจะทำให้เกิดโพลาไรเซชันแบบเกิดขึ้นเองเกิดขึ้น

2.3.2 โพลาไรเซชัน (Polarization) [6,7,9]

หากพิจารณาสารเซรามิก ที่ประกอบด้วยผลึกขนาดเล็กที่มีพิศทางของไดโพลต่างกัน การที่ไดโพลเรียงตัวไม่เป็นระเบียบ มีผลทำให้เซรามิกไม่สามารถแสดงสมบัติทางไฟฟ้า แต่เมื่อมีการทำสันамไฟฟ้าเข้าไป จะเป็นการสร้างข้อให้แก่สาร ซึ่งจะทำให้เกิดโพลาไรเซชันหรือทำให้ไดโพลภายในเนื้อสารมีพิศทางที่ใกล้เคียงกัน หรือมีพิศทางเดียวกับพิศทางของสันамไฟฟ้าที่ให้เข้าไป ดังแสดงในรูปที่ 2.9 จึงทำให้วัสดุเซรามิกสามารถเพิ่มสมบัติการเป็นเพียงไโซอิเล็กทริก และสมบัติทางไฟฟ้าได้



รูปที่ 2.9 แสดงการจัดเรียงไอลอพลากายในเนื้อสารก่อน และภายหลังการให้สานาไฟฟ้า [9]

2.3.3 สมบัติไอดีเล็กทริก (Dielectric properties) [6,8,9]

วัสดุไอดีเล็กทริก ถือได้ว่าเป็นวัสดุที่มีความสำคัญเป็นอย่างมากในทางอุตสาหกรรมโดยทั่วไปแล้ววัสดุไอดีเล็กทริกจะมีสมบัติเป็นอนุวนไฟฟ้าซึ่งไม่นำไฟฟ้า แต่จะมีความแตกต่างจากอนุวนไฟฟ้าโดยทั่วไป คือมีความสามารถในการเก็บประจุไฟฟ้า ซึ่งค่าความสามารถในการกักเก็บประจุไฟฟ้าของสารไอดีเล็กทริกนี้จะเรียกว่า ค่าความจุไฟฟ้า (capacitance) เมื่อทำการให้สานาไฟฟ้าแก่สารไอดีเล็กทริก สารไอดีเล็กทริกจะเกิดโพลาไรเซชันขึ้น โดยมีค่าเท่ากับผลรวมของโพลาไรเซชันต่อหนึ่งหน่วยปริมาตร (net polarization/unit volume) ซึ่งถ้ามีค่าโพลาไรเซชันสูงจะส่งผลให้สารไอดีเล็กทริกมีค่าความจุไฟฟ้าสูงขึ้นตามไปด้วย สมบัติทางไอดีเล็กทริกนี้มีพารามิเตอร์ที่สำคัญซึ่งเกี่ยวข้องอยู่ 4 ตัวคือ ค่าสภาพยอนสัมพัทธ์ (relative permittivity; ϵ_r) ค่าความสูญเสียไอดีเล็กทริก (dielectric loss; $\tan\delta$) แฟกเตอร์กลไฟฟ้าคู่คุณ (electromechanical coupling factor; k) และค่าคงที่ความถี่ (frequency constant; N)

2.3.4 ค่าสภาพยอนสัมพัทธ์ (Relative permittivity; ϵ_r) [6,8,9,10]

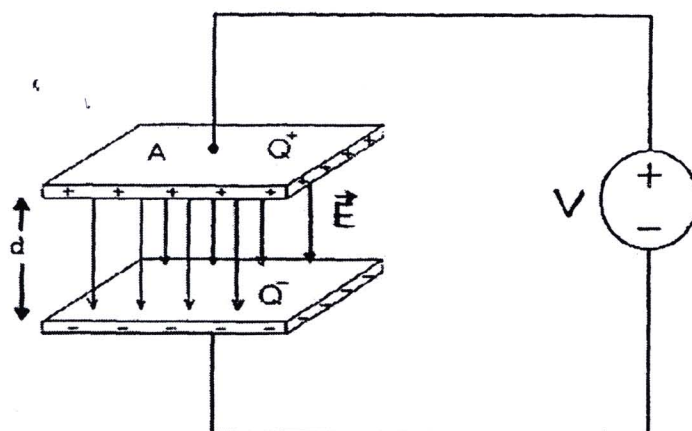
จากรูป 2.10 แสดงภาพด้วยที่เก็บประจุอย่างง่าย คือเป็นแผ่นบนที่ทำด้วยโลหะโดยมีระยะห่างเท่ากับ d พื้นที่ของแผ่นเท่ากับ A และระหว่างห่างแผ่นบนจะเป็นสูญญากาศ เมื่อให้ศักย์ไฟฟ้า V คร่อมแผ่นบนของโลหะทั้งสอง แผ่นโลหะแผ่นหนึ่งจะเป็นแผ่นประจุ $+Q$ และอีกแผ่นหนึ่งจะเป็นแผ่นประจุ $-Q$ โดยค่าประจุนี้จะเป็นสัดส่วนกับ V ดังสมการ 2.6



$$Q = CV$$

$$C = \frac{Q}{V}$$

หรือ เมื่อ C คือ ค่าความจุไฟฟ้า (capacitance) มีหน่วยเป็นคูลอมบ์ต่อโวลต์ (C/V) หรือ พารัค (F)



รูป 2.10 ตัวเก็บประจุของแผ่นคู่ขนาดเมื่อไม่มีสารไอดิเล็กทริก [11]

สารไอดิเล็กทริกเป็นชนวนที่ใช้ทำหน้าที่คั่นระหว่างตัวนำของตัวเก็บประจุ เพื่อกันให้ความหนาแน่นประจุสูงขึ้นกว่าแก่ส่วนของอากาศ โดยมีค่าสภាពยอมสัมพัทธ์ (relative permittivity) เป็นตัวเลขที่บอกให้ทราบว่าค่าความจุของตัวเก็บประจุที่ใช้สารไอดิเล็กทริกจะเพิ่มขึ้นเป็นกี่เท่าของตัวเก็บประจุอากาศ ดังสมการ 2.7

$$C = \epsilon C_0 \quad (2.7)$$

เมื่อ C_0 คือ ค่าความจุของตัวเก็บประจุของตัวเก็บประจุสูญญากาศ

C คือ ค่าความจุของตัวเก็บประจุที่มีสารไอดิเล็กทริก

ϵ คือ ค่าสภាពยอมของในสูญญากาศ

โดยปกติค่าสภาพยอนจะแสดงเป็นค่าสัมพัทธ์ (ϵ_r) เทียบกับค่าสภาพยอนของสุญญากาศ (ϵ_0) คือ

$$\epsilon = \epsilon_0 \epsilon_r \quad (2.8)$$

เมื่อ ϵ_0 คือ ค่าสภาพยอนของสุญญากาศมีค่า 8.854×10^{-12} ฟาร์ดต่อมเมตร
 ϵ_r คือ ค่าสภาพยอนสัมพัทธ์หรือค่าคงที่ไดอิเล็กทริก

และจากความสัมพันธ์ $C = Q/V$ สำหรับที่ไม่มีสาร ไดอิเล็กทริกจะได้ว่า

$$C = C_0 \frac{\epsilon_0 A}{d_0} \quad (2.9)$$

เมื่อ A คือ พื้นที่หน้าตัดของแผ่น ไดอิเล็กทริก
 d_0 คือ ระยะห่างระหว่างแผ่นคู่ขนานที่ไม่มีสาร ไดอิเล็กทริก

สำหรับตัวเก็บประจุที่มีสาร ไดอิเล็กทริกที่มีค่าสภาพยอนสัมพัทธ์ ϵ_r จะได้ว่า

$$C = \frac{\epsilon_r \epsilon_0 A}{d} \quad (2.10)$$

เมื่อ ϵ_0 คือ ค่าสภาพยอนของสุญญากาศมีค่า 8.854×10^{-12} ฟาร์ดต่อมเมตร
 ϵ_r คือ ค่าสภาพยอนสัมพัทธ์
 C คือ ค่าความจุของตัวเก็บประจุที่มีสาร ไดอิเล็กทริก
 A เมื่อ พื้นที่หน้าตัดของแผ่น ไดอิเล็กทริก
 d เมื่อ ความหนาของสาร ไดอิเล็กทริก

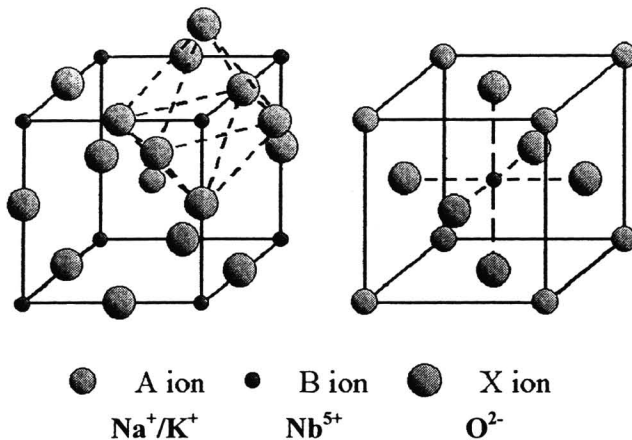
ความจุไฟฟ้านอกลึกลงความสามารถในการเก็บประจุ ยิ่งมีความจุไฟฟ้ามากเท่าใดยิ่งเก็บประจุได้มากเท่านั้น ถ้าหากตัวเก็บประจุมีขนาดพื้นที่หน้าตัดมากกว่าระยะห่างระหว่างแผ่นคู่ขนาน จะทำให้ความจุไฟฟ้ามีค่าเป็นไปดังสมการ 2.10 การมีไดอิเล็กทริกอยู่ในตัวเก็บประจุ จะช่วยเพิ่มพลังงานสะสมในตัวเก็บประจุให้สามารถสร้างตัวเก็บประจุขนาดเล็กแต่ความจุไฟฟ้าสูงได้

2.3.5 ค่าความสูญเสียไดอิเล็กทริก (Dielectric Loss; $\tan\delta$) [6,8,9]

ค่าความสูญเสียไดอิเล็กทริก (dielectric loss, $\tan\delta$) สำหรับเซรามิกนั้นเป็นค่าความสูญเสียที่เกิดขึ้นจากการให้พลังงานไฟฟ้าแล้วเกิดการเปลี่ยนแปลงพลังงานไปเป็นรูปแบบอื่นๆ เช่น เปลี่ยนแปลงเป็นพลังงานความร้อน เป็นต้น ซึ่งสามารถประมาณได้จากสัดส่วนของความได้เปรียบทางพลังงานของวงจรแผ่นด้านนำคู่ขนาด และสามารถวัดได้จากการออมพีเดนซ์ ซึ่งปริมาณของค่าความสูญเสียไดอิเล็กทริกนั้นสามารถประมาณได้ในช่วงความถี่ 1 กิโลเฮิรตซ์ ถึง 1 เมกะเฮิรตซ์

2.4 โพแทสเซียมโซเดียมไนโอบেต (Sodium Potassium Niobate: $\text{Na}_{0.5}\text{K}_{0.5}\text{NbO}_3$) [6,12-21]

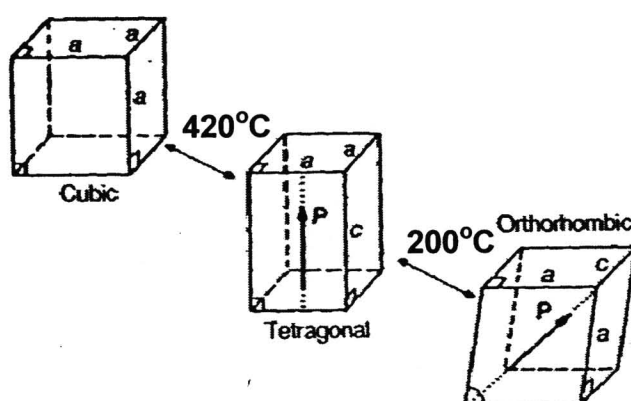
อัลคาไลน์ไนโอบেตและโดยเฉพาะอย่างยิ่งสารละลายของแข็งโซเดียมโพแทสเซียมไนโอบেตได้กล่าวมาเป็นหัวข้อสำคัญที่มีการศึกษา กันเป็นอย่างมากในช่วงคริสตศวรรษที่ 1990 เนื่องจากมีความต้องการสารเพียงโซเดียมโซเดียมที่ไร้สารตะกั่วมากขึ้น แท้จริงแล้วการศึกษาเกี่ยวกับสารตัวนี้ได้มีมาตั้งแต่ช่วงคริสตศวรรษที่ 1950 - 1960 สารประกอบโพแทสเซียมโซเดียมไนโอบেต (potassium sodium niobate) หรือ KNN เป็นสารประกอบเพียงโซเดียมที่มีโครงสร้างเป็นเพอร์อฟไกต์เชิงซ้อน (complex perovskite) มีสูตรโครงสร้างเป็น ABO_3 ดังแสดงในรูปที่ 2.11 โพแทสเซียมโซเดียมไนโอบ์ตันน์จะมีช่วงของมอร์โฟทรอปิกเฟส (morphotropic phase) คือที่ร้อยละ 52.5 ของโซเดียม หรือที่มีอัตราส่วนของโพแทสเซียมต่อโซเดียม ($\text{K} : \text{Na}$) เท่ากับ 1:1 โดยมีสูตรดังนี้คือ $\text{K}_{0.5}\text{Na}_{0.5}\text{NbO}_3$ เพสมอร์โฟทรอปิกนั้นเป็นบริเวณที่มีค่าสัมประสิทธิ์ควบคู่ทั้งไฟฟ้าที่สูง จึงทำให้มีการศึกษาโพแทสเซียมโซเดียมไนโอบেตในบริเวณนี้เป็นจำนวนมาก โพแทสเซียมโซเดียมไนโอบেตเกิดจากสารละลายของแข็งระหว่างโพแทสเซียมไนโอบেต (KNbO_3) และโซเดียมไนโอบেต (NaNbO_3) และเกิดเป็นเฟสไดอะแกรมทวิภาคแบบชูโด (pseudo binary) ซึ่งพบว่ามีการเปลี่ยนแปลงโครงสร้างของผลึกตามอุณหภูมิที่มีการเปลี่ยนแปลงไป ดังตารางที่ 2.1 และรูปที่ 2.12 ณ ที่อุณหภูมิห้อง โครงสร้างผลึกของ $\text{Na}_{0.5}\text{K}_{0.5}\text{NbO}_3$ เป็นออร์โทรอมบิก (orthorhombic) ซึ่งมีสมบัติเป็นเฟร์โรอิเล็กทริก และเมื่ออุณหภูมิสูงขึ้นที่ประมาณ 200 องศาเซลเซียส โครงสร้างเฟสจะเปลี่ยนไปเป็นเตตระgonal (tetragonal) ซึ่งมีสมบัติเป็นเฟร์โรอิเล็กทริก และเปลี่ยนไปเป็นคิวบิก (cubic) ที่อุณหภูมิประมาณ 420 องศาเซลเซียส ซึ่งจะให้สมบัติเป็นพาราอิเล็กทริกตามลำดับ จากการศึกษาพบว่าสารเซรามิกโพแทสเซียมโซเดียมไนโอบেตมีการเปลี่ยนแปลงที่ขึ้นกับความถี่มาก โดยความถี่จะส่งผลทำให้สภาพยอมล้มพัง และการสูญเสียไดอิเล็กทริกมีค่าเปลี่ยนแปลงไปอย่างมากได้



รูปที่ 2.11 แสดงลักษณะโครงสร้างผลึกแบบเพอร์โวฟไกต์ของโพแทสเซียมโซเดียมในโอเบต [11]

ตาราง 2.1 แสดงโครงสร้างผลึกของโพแทสเซียมโซเดียมในโอเบตในช่วงอุณหภูมิต่างๆ

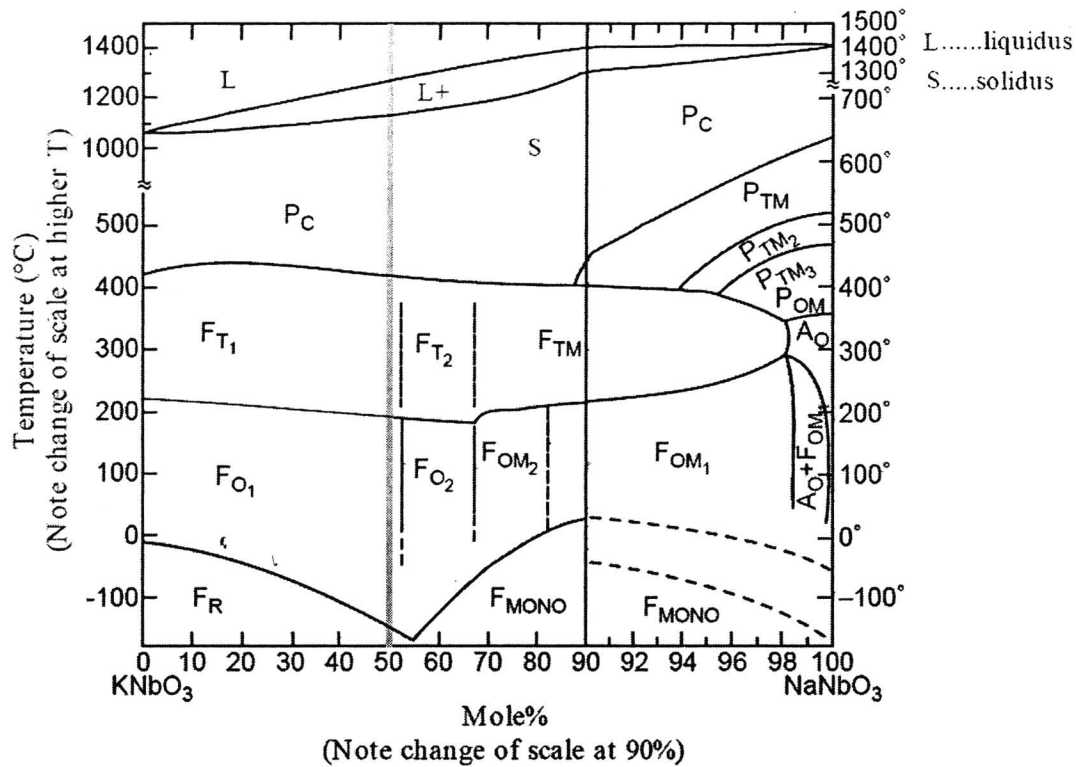
ช่วงอุณหภูมิ(องศาเซลเซียส) °C	โครงสร้างผลึก
< 200	ออร์โกรอมบิก
ตั้งแต่ 200 ถึง 420	เตตราหินอคล
> 420	คิวบิก



รูปที่ 2.12 แสดงโครงสร้างผลึกของโพแทสเซียมโซเดียมในโอเบตในช่วงอุณหภูมิต่างๆ [7]

ปกตินั้นวัสดุเพียงชิ้นเดียวที่ปราศจากตะกั่วมักมีค่าเพียงชิ้นเดียว แต่เมื่อใส่ตะกั่วเข้าไปในชิ้นเดียวกันจะทำให้ค่าเพียงชิ้นเดียวลดลงเป็นครึ่งหนึ่ง ดังนั้นการใช้วัสดุที่มีตะกั่วเป็นองค์ประกอบหลัก เพื่อให้ได้วัสดุที่มีคุณสมบัติเพียงชิ้นเดียว จึงต้องสร้างขึ้นจากวัสดุเฟอร์โรอิเล็กทริกที่มีโครงสร้างเป็นเพลทรอฟส์ไกต์ หนึ่งในกลุ่มวัสดุนี้ ได้แก่สารประกอบโพแทสเซียมโซเดียมในไอโอบาต เนื่องจากพบว่ามีอุณหภูมิครูรีที่สูงและยังมีค่าเพียงชิ้นเดียวที่ต่ำกว่าสารประกอบโพแทสเซียมโซเดียมในไอโอบาต ทำให้สามารถสร้างเฟลไดอะแอมได้ดังรูปที่ 2.13 จากภาพจะช่วยอธิบายการเกิดโครงสร้างที่ช่วงอุณหภูมิต่างๆ ได้ดี ยกตัวอย่างเช่นโซเดียมในไอโอบาต จะมีโครงสร้างเป็นคิวบิกที่อุณหภูมิเหนือ 435 องศาเซลเซียส มีโครงสร้างแบบเตตราหินอ่อนที่อุณหภูมิระหว่าง 435 ถึง 225 องศาเซลเซียส และมีโครงสร้างแบบออร์โทรอมบิกที่อุณหภูมิต่ำกว่า 225 องศาเซลเซียส ลำดับของการเปลี่ยนแปลงเฟลที่เกิดขึ้นเนื่องจากการเย็นตัวลงจากอุณหภูมิครูรีนี้ความคล้ายคลึงกันที่เกิดขึ้นกับแบบเรียนไททาเนต ($BaTiO_3$) ในโซเดียมในไอโอบาตนั้นจะมีโครงสร้างแบบคิวบิกที่อุณหภูมิเหนือกว่า 630 องศาเซลเซียส อย่างไรก็ตาม เนื่องจากอุณหภูมิเย็นตัวลงมีลำดับของการเปลี่ยนแปลงเฟลเกิดขึ้นและจะถูกแบ่งเป็นสารแอนไทร์ฟ์โรอิเล็กทริกที่อุณหภูมิห้องเป็นต้น

จากภาพที่ 2.13 ข้างต้นแสดงให้เห็นถึงขอบเขตของโครงสร้างเฟลของไทรอร์อมบิกที่มีความแตกต่างกันอยู่ที่ร้อยละ 52.5, 67.5 และ 82.5 ของโซเดียมในไอโอบาต (ดังที่แสดงด้วยเส้นประในรูป) แม้ว่าปกตินั้นโครงสร้างจะมีผลึกที่มีรูปร่างแบบออร์โทรอมบิกแต่ก็มักเกิดการบิดเบี้ยวของโครงสร้างไปประมาณ 10 องศาเซลเซียส ซึ่งจะมีลักษณะเป็นโนโนคลินิกแทน ทำให้ผู้บริเวณใกล้เคียงนี้เป็นบริเวณที่มีโครงสร้างผลึกผสมกันระหว่างเฟลของออร์โทรอมบิกกับเฟลของโนโนคลินิก



รูปที่ 2.13 แผนภูมิเฟส二ออกาแกรมแบบทวิกาค (Binary phase diagram) ของ KNbO_3 – NaNbO_3 [17] (F_R : เฟร์โรอิเล็กทริก โครงสร้างแบบบอร์บอนีชีครอลที่มีปริมาณโพแทสเซียมสูง, (F_{MONO} : เฟร์โรอิเล็กทริก โครงสร้างแบบโนโนคลินิก), (F_{O1} : เฟร์โรอิเล็กทริก โครงสร้างแบบออร์โทรอมบิก), (F_{O2} : เฟร์โรอิเล็กทริก โครงสร้างแบบออร์โทรอมบิก), (F_{OM1} : เฟร์โรอิเล็กทริก โครงสร้างแบบออร์โทรอนบิกใน NaNbO_3 บริสุทธิ์), (F_{OM2} : เฟร์โรอิเล็กทริก โครงสร้างแบบออร์โทรอนบิก), (F_{T1} : เฟร์โรอิเล็กทริก โครงสร้างแบบเตตระโภกนอลที่มีปริมาณของโพแทสเซียมสูง), (F_{T2} : เฟร์โรอิเล็กทริก โครงสร้างแบบเตตระโภกนอล), (F_{TM} : เฟร์โรอิเล็กทริก โครงสร้างแบบเตตระโภกนอลที่ได้จากการเติมสารเดิม แต่ง), (A_O : แอนไทร์เฟร์โรอิเล็กทริก โครงสร้างแบบออร์โทรอมบิก), (P_C : พาราอิเล็กทริกที่มีโครงสร้างแบบคิวบิก), (P_{OM} : พาราอิเล็กทริกที่มีโครงสร้างแบบออร์โทรอนบิก), (P_{TM} : พาราอิเล็กทริกที่มีโครงสร้างแบบเตตระโภกนอล), (P_{TM2} : พาราอิ-เล็กทริกที่มีโครงสร้างคล้ายเตตระโภกนอล), (P_{TM3} : พาราอิเล็กทริกที่มีโครงสร้างคล้ายเตตระโภกนอล)

อัตราส่วนของ $\text{K}_{0.5}\text{Na}_{0.5}\text{NbO}_3$ ที่ชัดเจนนี้ ไม่มีการอธิบายด้วยข้อมูล JCPDF ที่แน่นชัด ระบุไว้ แต่จะมีลักษณะที่คล้ายคลึงกับเฟสของ KNbO_3 ($Bmm2$, $a = 0.5697 \text{ nm}$, $b = 0.3971 \text{ nm}$,

$c = 0.5721 \text{ nm}$) จากรายงาน [22] จุดครึ่งของ KNN จะมีค่าที่มากกว่า โดยที่เหนือ 200 องศาเซลเซียสจะมีโครงสร้างแบบเตตระ โภโนล และที่อุณหภูมิตั้งแต่ 200 องศาเซลเซียสถึง -160 องศาเซลเซียส นั้นจะมีโครงสร้างเป็นออร์โทรอมบิกและเปลี่ยนแปลงเป็นรอม โบซิรอลตามลำดับ อุณหภูมิหลอมเหลวของ KNbO_3 และ NaNbO_3 จะอยู่ที่ประมาณ 1040 และ 1420 องศาเซลเซียส บริเวณเส้น solidus และ liquidus ของ KNN จะอยู่ที่ 1140 และ 1280 องศาเซลเซียส อย่างไรก็ตาม ยังไม่มีรายงานที่เกี่ยวกับเฟสแบบสามองค์ประกอบ (ternary; $\text{Na}_2\text{O}-\text{K}_2\text{O}-\text{Nb}_2\text{O}_5$) มากเท่าที่ควร

ระบบเฟส $\text{K}_2\text{O} (\text{K}_2\text{CO}_3) - \text{Nb}_2\text{O}_5$ สามารถเกิดโครงสร้างเพอร์อพส์ไกต์ของ KNbO_3 ได้จากการหลอมแบบไม่เป็นเนื้อเดียวกัน (incongruent) ที่อุณหภูมิ 1039 องศาเซลเซียส ทำให้เกิดเฟส ของ K_3NbO_7 , $\text{K}_4\text{Nb}_6\text{O}_{17}$, KNb_3O_8 และ $\text{K}_6\text{Nb}_{44}\text{O}_{113}$ [23] รายงานที่มีการศึกษาเกี่ยวกับการเติม ในโอเบี้ยมจำนวนมาก ($\text{KNbO}_3-\text{Nb}_2\text{O}_5$) จะพบเฟสต่างๆ ดังต่อไปนี้ $\text{K}_{5.75}\text{Nb}_{10.85}\text{O}_{30}$, $\text{K}_3\text{Nb}_7\text{O}_{19}$, $\text{K}_2\text{Nb}_8\text{O}_{21}$, $\text{KNb}_7\text{O}_{18}$ และ $\text{KNb}_{13}\text{O}_{33}$ [24-25] ปกติแล้วนั้น โครงสร้างของ KNbO_3 ที่มีความเป็นปริมาณสัมพันธ์กัน (stoichiometry) จะมีความเสถียรมาก อย่างไรก็ตามอัตราส่วนของโพแทสเซียมที่เปลี่ยนแปลง ไปเพียงเล็กน้อยจะทำให้เกิดการแยกชั้นของเฟสเนื่องจากความคุณภาพความชื้น อย่างรุนแรง (strongly hygroscopic) [26] $\text{K}_4\text{Nb}_6\text{O}_{17}$ จะฟอร์มก้อนน้ำได้อย่างเสถียร โดยไม่เลกุด ของน้ำจะเข้าไปแทรกในโครงสร้างที่เป็นชั้นๆ [27] งานที่ปรากฏในปี 1959 ซึ่งได้ทำการศึกษาเกี่ยวกับเฟสไฮดรอกเรมของ $\text{Na}_2\text{O}(\text{Na}_2\text{CO}_3) - \text{Nb}_2\text{O}_5$ จากทุกๆ ช่วงนั้นจะพบเฟสของโซเดียมใน-โอเบตอยู่ 5 เฟสคือ Na_3NbO_4 , NaNbO_3 , $\text{Na}_2\text{Nb}_8\text{O}_{21}$, $\text{NaNb}_7\text{O}_{18}$ และ $\text{NaNb}_{10}\text{O}_{25}$ [28] การที่มีปริมาณของ Nb_2O_5 มากเกินไปในระบบ เช่นระบบ $\text{NaNbO}_3 - \text{Nb}_2\text{O}_5$ ก็จะสามารถทำให้เกิดเฟสของโซเดียมใน โอเบตได้มากน้อยอาทิ $\text{Na}_2\text{Nb}_4\text{O}_{11}$, $\text{Na}_{4x}\text{Nb}_{3\pm x}\text{O}_{8\pm 2x}$, $\text{Na}_2\text{Nb}_{12}\text{O}_{31}$, $\text{NaNb}_7\text{O}_{18}$ และ $\text{NaNb}_{13}\text{O}_{33}$ เช่นเดียวกันกับ NaNbO_3 [25, 29, 30]

ความแตกต่างขององค์ประกอบนั้นก็อาจเกิดขึ้นได้ ในบริเวณสารละลายของแข็งและ/หรือ บริเวณที่มีอุณหภูมิที่เสถียรในเฟสที่มีในโอเบี้ยมมากดังที่ปรากฏในเฟสอะแกรมเดียวของ $\text{K}_2\text{O} - \text{Nb}_2\text{O}_5$ และ $\text{Na}_2\text{O} - \text{Nb}_2\text{O}_5$ ซึ่งเกิดจากความคลาดเคลื่อนของปริมาณสัมพันธ์ของสารตั้งต้นอันสืบเนื่องมาจากความชื้นของสารประกอบอัลคาไลน์คาร์บอนเนตมีสูง โดยเฉพาะอย่างยิ่ง KNbO_3 และการระเหยของสารประกอบคาร์บอนเนตในช่วงอุณหภูมิที่มีการเกิดปฏิกิริยาสถานะของแข็งระหว่าง 700 ถึง 950 องศาเซลเซียส เป็นสาเหตุของการเกิดเฟสใน โอเบตเชิงซ้อน (polyniobate) ในระบบ $\text{Na}_2\text{O}-\text{K}_2\text{O}-\text{Nb}_2\text{O}_5$

นอกจากนี้ยังมีการรายงานคุณสมบัติของ ไออิเล็กทริกและเพียโซอิเล็กทริกของ $(1-x)\text{KNbO}_{3-x}\text{NaNbO}_3$ [17] ไว้ว่าสารผสมระหว่าง $(1-x)\text{KNbO}_{3-x}\text{NaNbO}_3$ จะมีการเปลี่ยนแปลง สมบัติเพียโซอิเล็กทริกกับส่วนผสมเกิดขึ้นน้อย โดยเกิดน้อยกว่าที่พบในระบบของเลดเซอ โคเนต-

ไไททแนต์ หรือ PZT และบริวัมมอร์ฟอฟไทริปิกเฟสที่ 50.0% ของ NaNbO_3 จะให้ค่าเพิบโซอิเล็กทริกที่มีค่าที่สูงมากที่สุด ($d_{33} = 88 \text{ pC/N}$ และ $k_p = 0.36$) จึงเป็นสาเหตุทำให้มีงานวิจัยจำนวนมากสนใจที่จะศึกษา $(1-x)\text{KNbO}_3\text{-}x\text{NaNbO}_3$ ณ ตัวตนสมนิ้ว

2.4.1 ความเป็นมาของโพแทสเซียมโซเดียมไนโอลเบต $(\text{K}, \text{Na})\text{NbO}_3$ [50]

การศึกษาเกี่ยวกับสารละลายโพแทสเซียมโซเดียมไนโอลเบต ในขั้นเริ่มแรกนี้ เน้นเกี่ยวกับการปรับปรุงคุณสมบัติเพิบโซอิเล็กทริกของโพแทสเซียมโซเดียมไนโอลเบตด้วยการเพิ่มกระบวนการเผาผนึก (sinterability) การสังเคราะห์สารละลายของแข็ง โดยได้ใช้กระบวนการทำปฏิกิริยาสถานะของแข็งแบบดั้งเดิม และใช้ผงตั้งต้นที่เป็นสารประกอบอัลคาไลน์คาร์บอนเนตคือ Na_2CO_3 , K_2CO_3 และ Nb_2O_5 และเพาแคลไชน์ที่อุณหภูมิ 900 – 950 องศาเซลเซียส [15, 18, 31, 32] สำหรับปัญหาหลักของการสังเคราะห์สารละลายของแข็งโพแทสเซียมโซเดียมไนโอลเบตคือการระเหยได้ง่ายของสารประกอบอัลคาไลน์ที่อุณหภูมิสูง ในงานของ Egerton และ Dillon [15] ได้เลือกเติมสารประกอบอัลคาไลน์คาร์บอนเนตเกินขีนมาในปริมาณร้อยละ 0.1 โดยโนลในสารผสมตั้งต้น การกำจัดสารประกอบอัลคาไลน์ที่ไม่ทำปฏิกิริยากันนี้ จะกรองออกด้วยสารละลาย K_2CO_3 ในปริมาณร้อยละ 2 หลังจากการบูรณาการแคลไชน์ซึ่งยังได้มีรายงานเพิ่มเติมไว้ในงานวิจัยของ Reisman และคณะ [33]

กระบวนการสังเคราะห์ด้วยสถานะของแข็งแบบดั้งเดิม (solid – state synthesis) ของโพแทสเซียมโซเดียมไนโอลเบตพบปัญหาหลายอย่างด้วยกัน ทางเลือกหนึ่งที่นิยมมากคือการเลือกใช้สารทำปฏิกิริยา (Reagent) ให้มีความเสถียรที่เหมาะสม ในการพิสูจน์ได้เลือกใช้ชาตุอัลคาไลน์โดยสารประกอบอัลคาไลน์คาร์บอนเนตมักนิยมนำไปใช้เป็นสารประกอบตั้งต้น แต่สารโพแทสเซียมคาร์บอนเนต (K_2CO_3) นี้เป็นที่ทราบกันว่าเป็นสารที่มีความไวต่อความชื้นในอากาศสูง [34] จึงทำให้มีการทดลองสังเคราะห์สารละลายโดยใช้สารอัลคาไลน์ไฮโดรเจนคาร์บอนเนตแทน [35] นอกจากนี้ยังพบว่าโซเดียมโพแทสเซียมทาร์เทրดเตตราร์ไซเดรต (โรเชลซอลต์) เป็นทางเลือกที่ดีทางหนึ่งในการเตรียมสารโพแทสเซียมโซเดียมไนโอลเบต โดยเฉพาะอย่างยิ่งการที่สามารถทำให้อัตราส่วนของโพแทสเซียมต่อไนโอลเบย์มนันน์มีอัตราส่วน 1 ต่อ 1 [34, 36] ในปี 2005 Pithan และคณะ [37] ได้มีรายงานถึงวิธีการสังเคราะห์โพแทสเซียมโซเดียมไนโอลเบตด้วยวิธีการใช้ตัวกลางแบบไฮโดรเจนเมล็ดชั้น (microemulsion-mediated synthesis) โดยในขั้นต้นผงอสัมฐานที่มีขนาดของอนุภาคเฉลี่ยประมาณ 30 นาโนเมตรที่ได้จากการบูรณาการสารละลายในไนโอลเบย์มน์ที่ถูกโซเดียมอิทธิพลของน้ำที่อยู่ในน้ำหรือน้ำมันในไฮโดรเจนเมล็ดชั้น ด้วยกระบวนการอบอ่อนของผงอสัมฐานที่อุณหภูมิที่แตกต่างกัน [38] ผลที่ได้จากการทดลองพบว่าขนาดของอนุภาคเฉลี่ยต่อสัมฐาน $(\text{K}_{0.5}\text{Na}_{0.5})\text{NbO}_3$ มีผล

เกี่ยวข้องกัน คือ โครงสร้างแบบโนโนคลินิกที่มีความเสถียรสูงที่อุณหภูมิห้องจะพบในอนุภาคที่มีความหยาบ หรือมีขนาดอนุภาคเฉลี่ยมากกว่า 200 นาโนเมตร ขณะที่ในอนุภาคที่มีความละเอียดกว่า หรือมีขนาดอนุภาคเฉลี่ยน้อยกว่า 200 นาโนเมตร จะพบเฟสกึ่งเสถียร โพลิเมอร์ไตรคลินิก ในรายงานของ Nobre และ Lanfredi [39] ได้ทำการสังเคราะห์สารละลายของแข็งของ $(K_{0.2}Na_{0.8})NbO_3$ โดยใช้กระบวนการการอสัมฐานแบบชั้บช้อน (amorphous-complex) หรือที่เรียกว่ากระบวนการการระเหยเชิงเคมี โดยใช้โพแทสเซียมไนเตรต (potassium nitrate), โซเดียมไนเตรต (sodium nitrate), ในโอบียนแอน โนเนียมออกชาเลต (niobium ammonium oxalate), ออกชาลิก-แอซิด (oxalic acid) และแอน โนเนียมไฮดรอกไซด์ (ammonium hydroxide) เป็นสารตั้งต้น เช่นเดียวกันกับการสังเคราะห์สารละลายของแข็งโซเดียมในโอบีด ($NaNbO_3$) [40] ซึ่งเฟสที่บริสุทธิ์จะได้จากอุณหภูมิการตกผลึกที่อุณหภูมิ 440 องศาเซลเซียส

ในรายงานของ Bomlai และคณะ [42] ได้ศึกษาถึงเงื่อนไขของการเผาเคลือบและผลของการเติมสารอัลคาไลน์คาร์บอนเนตเกินกว่าปกติต่อการเปลี่ยนแปลงของเฟสและสัมฐานวิทยาของอนุภาคผง ($K_{0.5}Na_{0.5})NbO_3$ ในรายงานชิ้นงานสามารถเตรียมได้จากปฏิกิริยาสถานะของแข็งแบบดึงเดิมคัวบช่วงของอุณหภูมิเพาประมาณ 600 – 900 องศาเซลเซียส และทำการเติม Na_2CO_3 และ K_2CO_3 เกินในปริมาณร้อยละ 1, 3 และ 5 โดยโนโล โดยสัดส่วนของ Na ต่อ K คือ 1 ต่อ 1 จากการทดลองพบว่าอุณหภูมิแคโลไชน์ของผงที่มีการเติมสารอัลคาไลน์คาร์บอนเนตเกินในปริมาณร้อยละ 5 โดยโนโลจะลดลงจาก 800 องศาเซลเซียสเป็น 700 องศาเซลเซียส นอกจากนี้ในโอบียม-ออกไซด์ (Nb_2O_5) ที่ไม่ทำปฏิกิริยาจะหายไปจากการผสานกับห้องจากการแคโลไชน์ที่อุณหภูมิ 700 องศาเซลเซียส นาน 2 ชั่วโมง ซึ่งเป็นอุณหภูมิที่ต่ำกว่าที่ใช้แคโลไชน์ผงที่ไม่ได้เติม K และ Na โดยจะมีอุณหภูมิต่ำกว่าประมาณ 200 องศาเซลเซียส ผงที่มีการเติมสารอัลคาไลน์คาร์บอนเนตเกินร้อยละ 5 โดยโนโลและแคโลไชน์ที่อุณหภูมิ 900 องศาเซลเซียสนาน 2 ชั่วโมงจะมีอนุภาคหยาบขนาดประมาณ 1.0 – 2.5 ไมโครเมตรและมีรูปทรงคิวบิก ในขณะที่ชิ้นงานที่ใช้สัดส่วนแบบปริมาณสัมพันธ์ (stoichiometric) หรือไม่ได้เติม K และ Na เกินซึ่งผ่านการแคโลไชน์ที่อุณหภูมิเดียวกันจะให้ขนาดของอนุภาคเฉลี่ยคือ 0.15 – 0.3 ไมโครเมตร ในการทดลองพบว่าเฟสของเหลวจะเกิดขึ้นที่อุณหภูมามากกว่า 800 องศาเซลเซียส จากรายงานได้ทำการอ้างอิงกับเฟสไครอะแกรมของระบบ $Na_2CO_3-K_2CO_3$ ซึ่งจะแสดงช่วงอุณหภูมิที่ต่ำสุดที่จะเกิดการหลอมได้คือประมาณ 710 องศาเซลเซียส ในชิ้นงานที่มีการเติมสารผสานอัลคาไลน์คาร์บอนเนตที่มีปริมาณร้อยละ 55 โดยโนโลเนื่องจากการเกิดเฟสของเหลวนี้เอง จึงส่งผลให้อัตราการขนส่งมวลสารมีเพิ่มมากขึ้น ลักษณะที่เกิดขึ้นนี้จะส่งผลทำให้สารละลายของแข็งของระบบมีความเป็นเนื้อเดียวกันมากขึ้นแม้อุณหภูมิจะต่ำลง อย่างไรก็ตามการเติมสารอัลคาไลน์คาร์บอนเนตในอัตราส่วนร้อยละ 5 โดยโนโลนี้ก่อส่งผลให้



ชิ้นงานมีความหนาแน่นที่ต่ำ เนื่องจากมีกระบวนการเดิน โถของอนุภาคและการหักคอกขอด (necking) ระหว่างอนุภาคเข้ามาแทนที่ในระหว่างขั้นตอนของการเผา

ในงานวิจัยล่าสุด Hagh และคณะ [43] ได้รายงานถึงความสัมพันธ์ของกระบวนการและคุณสมบัติของการเจือ Li, Ta และ Sb ลงในสารละลายนองแข็งโพแทสเซียมโซเดียมในโอเบต การตั้งเคราะห์จะศึกษารูปแบบสถานะของแข็งที่แตกต่างกัน 2 รูปแบบคือ แบบออกไซด์ผสม (mixed-oxide) และแบบเพอร์อฟสไกต์ (perovskite) ในกรณีดังเดิม สารละลายนองแข็งจะสังเคราะห์โดยตรงจากสารผสมคาร์บอนเนตและออกไซด์ ต่อมาก็จะมีความสนิใจสังเคราะห์สารประกอบทวิภาค เช่น โพแทสเซียมในโอเบต (KNbO_3), โซเดียมในโอเบต (NaNbO_3), โพแทสเซียมเทาเลท (KTaO_3), โซเดียมแอนติโนเมต (NaSbO_3) และลิเทียมแอนติโนเมต (LiSbO_3) โดยจะนำสารผสมเหล่านี้มาผสมเข้าด้วยกัน เพื่อทำให้เกิดองค์ประกอบของ $(\text{K}_{0.44}\text{Na}_{0.52}\text{Li}_{0.04})(\text{Nb}_{0.84}\text{Ta}_{0.10}\text{Sb}_{0.06})\text{O}_3$ โดยในรายงานได้กล่าวถึงผลกระบวนการความซึ่นไว้ เช่นกัน โดยทำการเปรียบเทียบผลของชิ้นงานที่ได้โดยไม่ผ่านกระบวนการใด กับชิ้นงานที่ผ่านการอบสารตั้งต้น (เป็นระยะเวลา 24 ชั่วโมง) การเปรียบเทียบเพิ่มเติม ผงตั้งต้นจะได้จากการเตรียมในห้องทดลองและในบรรยายการเนื้อย เช่น อาร์กอน ในกระบวนการเผา遁ัก ชิ้นงานเซรามิกจะถูกครอบด้วยฟรอยด์ทองคำขาวหรือแพลตินัม (platinum) และไม่ครอบด้วยฟรอยด์ทองคำขาวภายใต้บรรยายการแบบออกซิเจน ทำให้มีความเป็นไปได้ที่จะทำการวิเคราะห์อิทธิพลของบรรยายการแบบออกซิเจนต่อคุณสมบัติทางไฟฟ้า การอบชิ้นงานและใช้บรรยายการเนื้อยกับผงตั้งต้นจะช่วยปรับปรุงคุณสมบัติไฟฟ้าเชิงกลได้ จากการทดสอบดังกล่าวแสดงให้เห็นถึงความสำคัญของการระมัดระวังความซึ่นในระหว่างการเตรียมสารละลายนองแข็งโพแทสเซียมโซเดียมในโอเบต ซึ่งยังรวมถึงสารตั้งต้นอื่นๆ ที่มีความไวต่อความซึ่น จากการเตรียมทั้งสองแบบดังที่ได้กล่าวมานั้นจะให้คุณสมบัติทางไฟฟ้าเชิงกลที่คล้ายคลึงกัน ผู้เขียนได้สรุปไว้ว่ากระบวนการแบบผสมออกไซด์มีความเหมาะสมที่สุดสำหรับการเตรียมสารโพแทสเซียมโซเดียมในโอเบต เนื่องจากสามารถลดขั้นตอนเพิ่มเติมที่มากกระบวนการแบบเพอร์อฟสไกต์ได้ นอกจากนี้อัตราของการผ่านแก๊สออกซิเจนในปริมาณมากๆ จะมีผลทำให้เพิ่มคุณสมบัติเพียงโซเดียมลีกทริก ให้มีค่าที่สูงได้ เช่นกัน

2.5. เอกสารที่เกี่ยวกับงานวิจัย

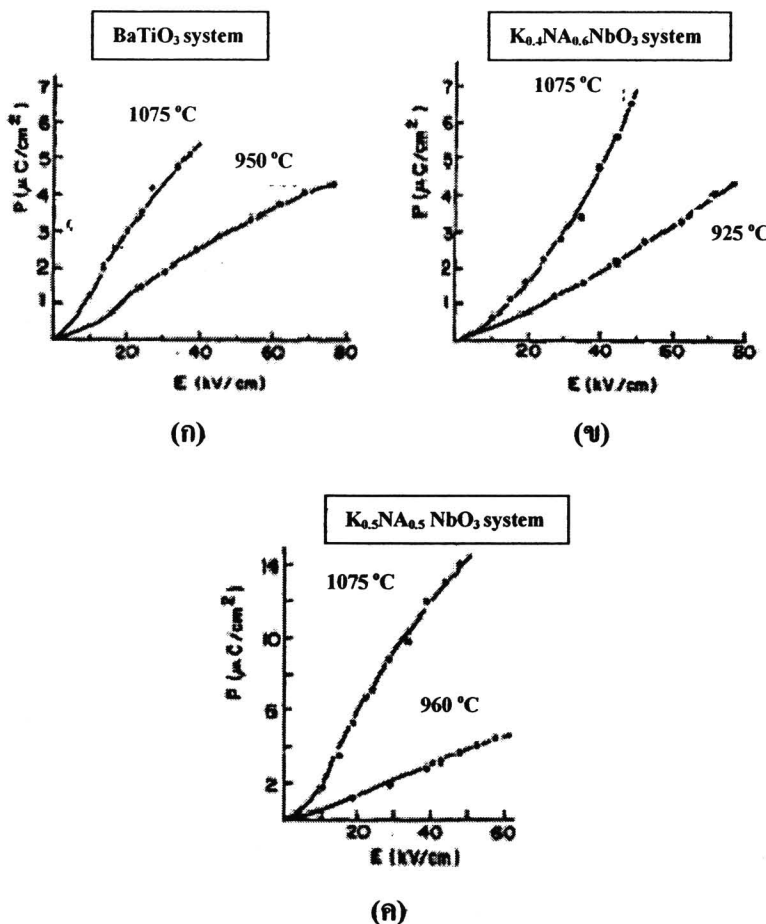
ในปีคริสตศักราช 1959 Egerton และ Dillon [15] ได้ทำการศึกษาเกี่ยวกับสมบัติโอลิเอล็กทริกและเพียงโอลิเอล็กทริกของเซรามิกในระบบโพแทสเซียม โซเดียม ในโอเบต โดยได้เริ่มทำการศึกษาจากการปรับเปลี่ยนร้อยละ โดยไม่ลดของโซเดียม ในโอเบตที่ผสมเข้ากับโพแทสเซียม-ในโอเบตตั้งแต่ร้อยละ 50 ไปจนถึงร้อยละ 98 โดยโนล ชินงานที่ได้มีความหนาแน่นเมื่อเทียบกับทางทฤษฎีอยู่ที่ร้อยละ 94 ถึง 97 ตามลำดับ ผลการศึกษาสมบัติโอลิเอล็กทริกพบว่าที่อัตราส่วนร้อยละ 50 โดยไม่ลดจะมีสภาพของสัมพัทธ์ที่ดี แต่จะมีค่าสัมประสิทธิ์คุณภาพในแนวรัศมีที่สูง

ในปีคริสตศักราช 1967 Haertling [31] ได้ทำการศึกษาถึงสมบัติความเป็นเฟอร์โรโอลิเอล็กทริกของเซรามิก โพแทสเซียม โซเดียม ในโอเบต โดยได้ทำการศึกษาถึงรูปทรงและค่าที่ได้จากการวี-สเทอริโอซีที่อัตราส่วนร้อยละของ โพแทสเซียม ในโอเบตที่แตกต่างกัน พบว่าเกิดการเพิ่มขึ้นของสภาพคงเหลือของโพลาไรเซชันเมื่อเพิ่มปริมาณของ โพแทสเซียม ในโอเบตขึ้น โดยมีสาเหตุมาจากการ โซเดียม ในโอเบตมีสมบัติที่ไม่เป็นเฟอร์โรโอลิเอล็กทริกและจะแสดงสมบัติเป็นแอนไฟฟอร์โรโอลิเอล็กทริกนอกจากนี้พบว่าอัตราส่วนของ โซเดียม ในโอเบตและ โพแทสเซียม ในโอเบตที่ร้อยละ 50 โดยโนล จะมีค่าโพลาไรเซชันแบบเกิดขึ้นเองสูงที่สุดที่ $15 \mu\text{C}/\text{cm}^2$ และมีค่าสภาพคงเหลือของโพลา-ไรเซชันที่ดีที่สุดที่ $8 \text{kV}/\text{cm}$

ต่อมาในปีคริสตศักราช 2006 Birol และ Damjanovic [44] ได้ศึกษาสารประกอบ โพแทสเซียม โซเดียม ในโอเบตด้วยวิธีการด้วยวิธีมิกซ์อ็อกไซด์แบบดึงเดิน เพื่อเป็นการลดขั้นตอน การเตรียมที่ซับซ้อนและยุ่งยากจากการใช้เทคนิคการอัดแบบกรร่อน โดยอาศัยการควบคุมปัจจัยต่างๆ ทั้งความชื้นและอุณหภูมิในการเผาเผาเพื่อให้ได้ชิ้นงานเซรามิกที่มีความหนาแน่นที่สูง จากการศึกษาพบว่าสามารถทำการเตรียมชิ้นงานเซรามิกให้มีความหนาแน่นสูงถึงร้อยละ 95 ของความหนาแน่นทางทฤษฎี ซึ่งจะให้ค่าสัมประสิทธิ์เพียง โซโลโอลิเอล็กทริกอยู่ที่ประมาณ 100 pC/N จากนั้นได้ทำการศึกษา Wang H. และเทอร์เชิส ซึ่งได้ค่าسانานวนล้างแม่เหล็กที่ประมาณ $20 \text{ kV}/\text{cm}$ และ สภาพคงเหลือของโพลาไรเซชัน $20 \mu\text{C}/\text{cm}^2$

สำหรับงานวิจัยเกี่ยวกับแก้วเซรามิก โพแทสเซียม โซเดียม ในโอเบต เริ่มนิการศึกษากันอย่างแพร่หลายมาตั้งแต่ช่วงคริสตศักราช 1990 ในปีคริสตศักราช 1969 โดย Borrelli และคณะ [45] ได้ศึกษาสมบัติไฟฟ้าเชิงแสงและสมบัติไฟฟอร์โรโอลิเอล็กทริกของแก้วเซรามิกที่ประกอบด้วยผลักของ $\text{Na}_{0.5}\text{K}_{0.5}\text{NbO}_3$ และ BaTiO_3 การตรวจสอบพฤติกรรมของโคลเมนภายในชิ้นงานทำได้โดยการวัดค่าทางโอลิเอล็กทริกและวีสเทอริโอซีสเชิงแสง ผลแสดงในรูปที่ 2.14 โดยค่าเหล่านี้จะเห็นได้ชัดเมื่อผลักมีขนาดที่ใหญ่ ความสัมพันธ์ของผลักและ โพลาไรเซชันแสดงดังตารางที่ 2.2 ซึ่งผลของการทดลองพบว่าสมบัติไฟฟอร์โรโอลิเอล็กทริกจะปราศจาก ได้ชัดเมื่อชิ้นงานมีขนาดผลักประมาณ 0.2

ในโครเมตหรือมากกว่านั้น ทำให้ชิ้นงานเกิดลักษณะที่บุนนาค เนื่องจากเกิดการกระเจิงของแสง ดังนั้นชิ้นงานจะส่งผ่านแสงได้ในบริเวณแคบๆ เท่านั้น นอกจากนี้ในรายงานยังแสดงผลการศึกษา ลักษณะไบเรฟริน - เจ็นท์ (birefringence) ว่าจะมีค่าที่น้อย และค่าสวิตซ์ทางแสงก็จะสูงจะเกิดขึ้น เมื่อให้พลังในช่วง 105 V/cm, 100 μ s อัตราส่วนของการส่องผ่านของแสงที่วัดได้จากโพลาไรเซอร์คือ 2 : 1



รูปที่ 2.14 กราฟแสดงโพลาไลเซชันต่อสถานไฟฟ้า (ก) แก้วเซรามิก BaTiO₃ ที่ผ่านการปั๊กผลึกที่ อุณหภูมิ 1075 °C (ขนาดผลึก ~1 ไมโครเมตร) และ 975 °C (ขนาดผลึก ~0.1 ไมโครเมตร) (u) แก้วเซรามิก K_{0.4}Na_{0.6}NbO₃ ที่ผ่านการปั๊กผลึกที่อุณหภูมิ 1075 °C (ขนาดผลึก ~1 ไมโครเมตร) และ 975 °C (ขนาดผลึก ~0.2 ไมโครเมตร) (ก) แก้วเซรามิก K_{0.5}Na_{0.5}NbO₃ ที่ผ่านการปั๊กผลึกที่อุณหภูมิ 1075 °C (ขนาดผลึก ~1 ไมโครเมตร) และ 960 °C (ขนาดผลึก ~0.2 ไมโครเมตร)

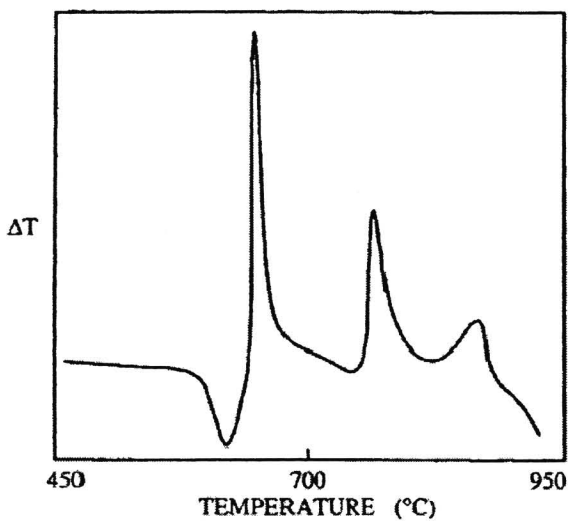
ตารางที่ 2.2 ตารางแสดงการเปรียบเทียบขนาดของผลึกกับค่าโพลาไอลเซชันของระบบโพแทสเซียมโซเดียมในโอเบต ($K_{0.5}Na_{0.5}NbO_3$) โดย $E = 16 \text{ kV/cm}$

Material	Crystal Size	$P_{\mu\text{C}/\text{cm}^2}$	$P_{\mu\text{C}/\text{cm}^2}$
Ceramic ^(*)	6 μ	35	33
Glass-ceramic (1075°C)	$\sim 1 \mu$	4.2	0.8
Glass-ceramic (925°C)	<0.2 μ	1.0	~ 0.2

(* G.H. Haertling et.al. [31])

ในปีคริสตศักราช 1991 Nobuko S. VanDamme และคณะ [51] ได้ศึกษาเซรามิกไปร์งใส่ที่ประดิษฐ์จากสตอรอนเดียมแบนเรียมในโอเบต (strontium barium niobate, SBN) อัตราส่วนที่ผู้รายงานเลือกทำการศึกษาคือ $Sr_xBa_{1-x}Nb_2O_6$ ($0.5 \leq x \leq 0.75$) การเตรียมผงสามารถทำได้โดยอาศัยกระบวนการผสมออกไซด์ การขึ้นรูปชิ้นงานจะอาศัยเทคนิคการกดอัดทุกทิศทางในบรรยากาศออกซิเจน (oxygen HIPing) และตามด้วยการเผาผนึกเพื่อเพิ่มความหนาแน่นของชิ้นงานจากการทดลองพบว่าการเติบโตของเกรนจะขัดขวางกลไกการเพิ่มความหนาแน่น ทำให้ชิ้นงานที่เตรียมได้มีความหนาแน่นลดลง ชิ้นงานเซรามิกที่เตรียมจากการเผาผนึกเพื่อเพิ่มความหนาแน่นเพียงอย่างเดียวจะมีความหนาแน่นสูงเพียงร้อยละ 98 ผลการวิเคราะห์ห้องคปประกอบและโครงสร้างพบว่าเซรามิกที่เตรียมเป็นเฟสเดียวของ SBN และมีโครงสร้าง TTB หรือ เดตระ โภนอลทั้งสเกน-บรอนส์ ซึ่งมักแสดงพฤติกรรมรีแลกเซอร์ เซรามิกที่เตรียมด้วย HIP และตามด้วยการเผาผนึกที่ความดันค่า จะให้ความหนาแน่นที่เพิ่มขึ้นร้อยละ 99 และในบางชิ้นงานด้วยอย่างจะแสดงลักษณะที่ไปร์งแสง ในชิ้นงานที่มีค่าการส่งผ่านของแสงสูงจะมีค่าสัมประสิทธิ์ extinction ที่แตกต่างกันตามช่วงความยาวคลื่นคือ 600, 1450 และ 2000 นาโนเมตรจะมีค่าสัมประสิทธิ์ extinction เท่ากับ 30.4, 5.8 และ 2.4 cm^{-1} ตามลำดับ สุดท้ายผลการศึกษาสัมประสิทธิ์ไฟฟ้าเชิงแสงแบบเส้นตรง (linear electrooptic coefficient) ในเซรามิก $Sr_{0.55}Ba_{0.45}Nb_2O_6$ จะมีค่า r_{33} และ r_{13} ที่ช่วงความถี่ 633 นาโนเมตรเท่ากับ 46×10^{-12} และ $21 \times 10^{-12} \text{ m/V}$ ตามลำดับ

ในปีคริสตศักราช 2001 Vernacotola และคณะ [46] รายงานว่า ผลึกของโพแทสเซียมในโอเบตสามารถเกิดในระบบแก้ว-โพแทสเซียมในโอเบียม-ชิลิกेटที่มีปริมาณของชิลิกาน้อยกว่าร้อยละ 36 โดยโมล และสารละลายนองแข็งของ $(K/Na)NbO_3$ ได้จากการปัลส์ผลึกด้วยความร้อนของแก้วโซเดียม-โพแทสเซียม-ในโอเบียม-ชิลิกेट ที่มีปริมาณของชิลิการ้อยละ 24 โดยโมล

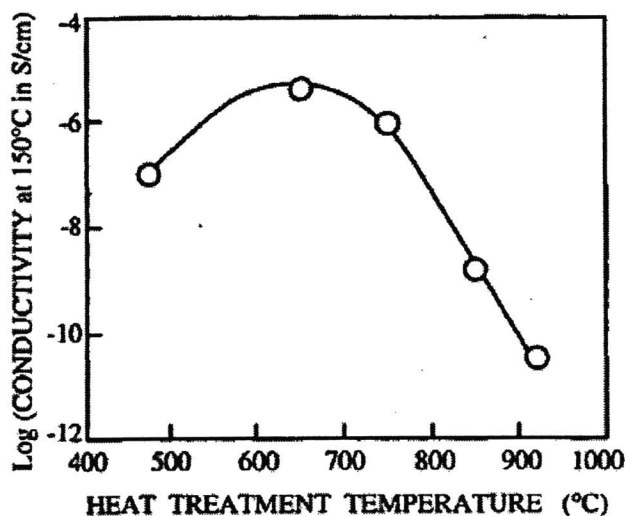


รูปที่ 2.15 กราฟ DTA แสดงพฤติกรรมทางความร้อนของแก้ว $38\text{K}_2\text{O}-38\text{Nb}_2\text{O}_5-24\text{SiO}_2$

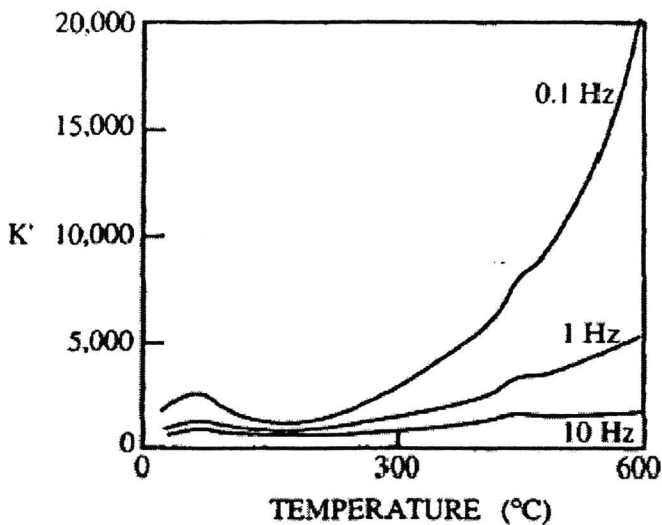
ผลวิเคราะห์พฤติกรรมทางความร้อนของแก้วที่มีส่วนผสม $38\text{K}_2\text{O}-38\text{Nb}_2\text{O}_5-24\text{SiO}_2$ แสดงดังรูปที่ 2.15 จะพบว่าแก้วที่เกิดจะแสดงลักษณะของ endothermic ที่อุณหภูมิประมาณ $596\text{ }^{\circ}\text{C}$ และเกิด exothermic ที่อุณหภูมิประมาณ $640, 765$ และ $863\text{ }^{\circ}\text{C}$ จากการวิเคราะห์ด้วย x-ray พบว่า แก้วที่ผ่านความร้อนช่วงอุณหภูมิ $640\text{ }^{\circ}\text{C}$ จะมีเฟสของ $\text{K}_4\text{Nb}_6\text{O}_{17}$ และ K_3NbO_4 ในแก้วที่ผ่านความร้อนช่วงอุณหภูมิ $756\text{ }^{\circ}\text{C}$ จะยังคงมีเฟสของ $\text{K}_4\text{Nb}_6\text{O}_{17}$ อยู่แต่เฟสของ K_3NbO_4 จะลดลงและปรากฏเฟสใหม่คือ $\text{K}_6\text{Nb}_6\text{Si}_4\text{O}_{26}$ นอกจากนี้จะพบเฟสของ KNbO_3 ปรากฏเล็กน้อยในแก้วที่ผ่านความร้อนในช่วงอุณหภูมิ $900\text{ }^{\circ}\text{C}$ จากการทดลองพบว่าแก้วที่มีปริมาณของชิลิกาสูงจะปรากฏเฟสที่มีชิลิการ่วม เช่น $\text{K}_6\text{Nb}_6\text{Si}_4\text{O}_{26}$ ขณะที่แก้วที่มีปริมาณของชิลิกาต่ำจะปรากฏเฟสของโพแทสเซียมในโโนเบียมออกไซด์ เฟสที่มีปรากฏได้แก่ KNbO_3 , K_3NbO_4 , $\text{K}_3\text{Nb}_{18}\text{O}_{49}$ และ $\text{K}_6\text{Nb}_6\text{Si}_4\text{O}_{26}$ ในแก้วที่มีชิลิกาน้อยกว่าร้อยละ 20 โดยโนลซึ่งเป็นอัตราส่วนของชิลิกาที่น้อยที่สุดที่จะใช้ทดลองเป็นแก้วได้นั้นจะพบเฟสของแก้วและ KNbO_3 ในแก้วที่มีอัตราส่วนของชิลิกาอยู่ร้อยละ $32 - 36$ โดยโนลจะปรากฏเฟสของ KNbO_3 , K_3NbO_4 และ $\text{K}_3\text{Nb}_{18}\text{O}_{49}$ ซึ่งเมื่อให้ความร้อนในการปัจกพลักแก้วเหล่านี้แล้ว เฟสของชิลิกา $\text{K}_6\text{Nb}_6\text{Si}_4\text{O}_{26}$ จึงจะเริ่มปรากฏร่วมขึ้น

ผลของพฤติกรรมการนำไฟฟ้าของแก้วเซรามิกโพแทสเซียม-โซเดียม หรือแก้วที่มีองค์ประกอบคือ $5\text{Na}_2\text{O} - 33\text{K}_2\text{O} - 38\text{Nb}_2\text{O}_5 - 24\text{SiO}_2$ พบว่าก่อนการปัจกพลักนั้น พฤติกรรมทางไฟฟ้าที่เกิดขึ้นเป็นผลมาจากการผสมสารประกอบอัลคาไลน์ โดยค่าทางไฟฟ้าจะลดลงเป็นอย่างมาก เมื่อให้ความร้อนประมาณ $150\text{ }^{\circ}\text{C}$ เข้าไปพร้อมๆ กับการวัดสมบัติทางไฟฟ้า พบว่าค่าทางไฟฟ้ามีแนวโน้มที่ลดลงเช่นเดียวกัน สิบเนื้องมาจากการที่ไอออนของโซเดียมจะเข้าไปแทนที่โพแทสเซียมนั้นเอง ในแก้วที่ปัจกพลักจะมีพฤติกรรมทางไฟฟ้าเป็นไปดังรูปที่ 2.15 ความสามารถ

ในการนำไฟฟ้าจะเพิ่มขึ้นจนกระทั่งมีค่าสูงสุดในแก้วที่ผ่านการปัลอกผลึกที่อุณหภูมิ 650°C จากนั้นสภาพการนำไฟฟ้าจะลดลงเมื่ออุณหภูมิที่ใช้ในการปัลอกผลึกจะเพิ่มขึ้น สาเหตุที่การนำไฟฟ้าเพิ่มขึ้นอาจเกิดมาจากการประมวลผลของสารประกอบอัลคาไลน์เกิดขึ้นน้อย หรือสารประกอบอัลคาไลน์อย่างโดยย่างหนึ่งถูกกำจัดออกไป อย่างไรก็ตามการลดลงของสภาพการนำไฟฟ้าในแก้วที่ปัลอกผลึกที่อุณหภูมิสูงเป็นผลจากการเคลื่อนที่พำนะประจุของไอออนอัลคาไลน์ภายในชิ้นงาน จากการวัดสมบัติไดอิเล็กทริกกับอุณหภูมิที่เพิ่มขึ้นเมื่อมีการเปลี่ยนแปลงของความถี่ได้แสดงไว้ดังรูปที่ 2.17 จะเห็นได้ว่าแก้วที่ได้จะมีอุณหภูมิคริวอี้ที่ 450°C ซึ่งคาดว่าเป็นผลจากเฟสของ KNbO_3 ทำให้พอสรุปได้ว่าค่าคงที่ไดอิเล็กทริกของแก้วเซรามิกโพแทสเซียมโซเดียมไนโตรเบตันนั้นขึ้นกับอุณหภูมิเป็นอย่างมาก ทั้งนี้อาจเนื่องมาจากการเคลื่อนที่ของไอออนอัลคาไลน์ภายในแก้ว เช่นเดียวกับการเคลื่อนที่ของแก้วคงค้าง (residual glass) โดยไม่ได้เป็นผลมาจากผลึกที่เป็นเฟสของสารเฟอร์โรอิเล็กทริกภายในเนื้อแก้ว นอกจากนี้แก้วเซรามิกที่ได้ยังมีส่วนประกอบของเฟสอื่นๆ ที่ไม่ใช่เฟอร์โรอิเล็กทริก (non- ferroelectric phase) อญ্তด้วย



รูปที่ 2.16 ผลของอุณหภูมิที่ใช้ในการปัลอกผลึกต่อสมบัติทางไฟฟ้าในแก้ว $5\text{Na}_2\text{O} - 33\text{K}_2\text{O} - 38\text{Nb}_2\text{O}_5 - 24\text{SiO}_2$



รูปที่ 2.17 ผลของอุณหภูมิต่อค่าคงที่ไดอิเล็กทริกของแก้วเบสที่ผ่านการปัจจุบลีกที่อุณหภูมิ 925 °C เป็นเวลา 1 ชั่วโมง

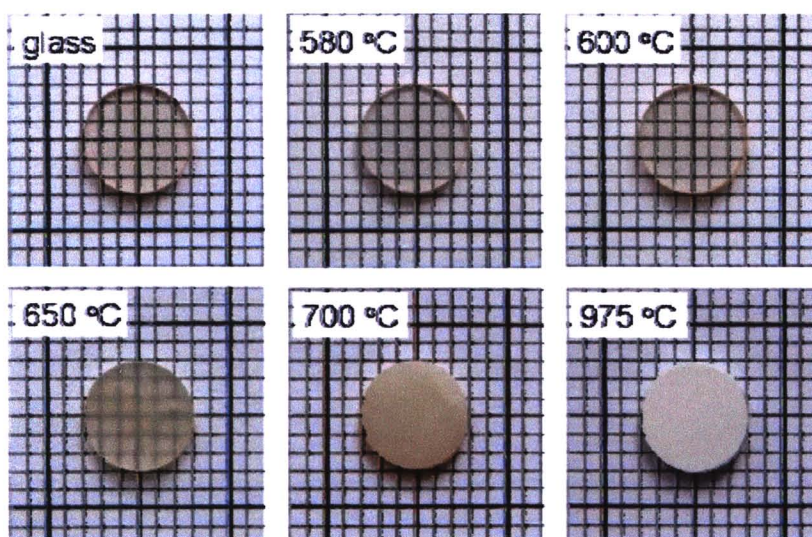
ในปีคริสตศักราช 2003 Petrovskii และคณะ [47] ได้ทำการศึกษาโครงสร้างของระบบแก้ว $\text{Na}_2\text{O} - \text{K}_2\text{O} - \text{Nb}_2\text{O}_5 - \text{SiO}_2$ ที่เปลี่ยนแปลงปริมาณของไนโตรบีมระหว่างร้อยละ 5 – 39 โดยโนล และการเปลี่ยนแปลงโครงสร้างของชิ้นงานที่ผ่านกระบวนการอุณหภูมิกังที่ (isothermal) ที่อุณหภูมิแตกต่างกันด้วยเครื่องวิเคราะห์ Small-angle X-ray scattering (SAXS) และเครื่องวิเคราะห์ X-ray powder diffraction พนว่าแก้วที่มีส่วนประกอบของไนโตรบีมร้อยละ 15 โดยโนล หรือมากกว่านั้น จะเกิดการแยกชั้นของเฟส เมื่อให้ความร้อนแก่ชิ้นงานพบว่าจะเกิดผลลัพธ์ของ NaNbO_3 มากในบริเวณที่มีปริมาณของ Nb_2O_5 สูง นอกจากนี้แต่ละบริเวณของแก้วจะมีโครงสร้างที่ไม่เป็นเนื้อเดียวกันและปราศจากผลลัพธ์เดียวกัน ของ NaNbO_3 ที่ถูกถือมารอบด้วยชั้นของเมทัริกซ์ซิลิเกต ค่าความเข้มของแสงที่กระเจิงออกมานามารถหาคร่าวๆ ได้จากขนาดของบริเวณเฟสที่เกิดการแยกชั้น โดยปริมาณของไนโตรบีมออกไซด์ที่เพิ่มขึ้นจะทำให้ขนาดของเฟสที่แยกชั้นลดลง ซึ่งจะทำให้ค่าสูญเสียจากการกระเจิงของแสงลดลง และเพิ่มค่าการส่องผ่านในชิ้นงานที่ผ่านกระบวนการความร้อน ผลของการแทรกสอดมีความเกี่ยวข้องกับโครงสร้างที่ไม่เป็นเนื้อเดียวกันในบริเวณที่มีไนโตรบีมเป็นปริมาณมากและขังช่วยเพิ่มความโปร่งใสในชิ้นงานได้

ในปีคริสตศักราช 2004 Zhilin และคณะ [48] ได้ศึกษาการเปลี่ยนแปลงเฟสของแก้วที่มีส่วนผสมของ $x\text{Nb}_2\text{O}_5-(66-x)\text{SiO}_2-19\text{Na}_2\text{O}-11\text{K}_2\text{O}-2\text{B}_2\text{O}_3-2\text{BaO}$ เมื่อ x มีค่าเท่ากับร้อยละ 5 – 39 โดยโนล ที่อุณหภูมิ 610 – 700 องศาเซลเซียส ด้วยเครื่องวิเคราะห์ Small-angle X-ray scattering (SAXS) และเครื่องวิเคราะห์ X-ray powder diffraction พนว่าในแก้วที่มีปริมาณ x



มากกว่าร้อยละ 15 โดยโนล จะเกิดผลึกของ NaNbO_3 ในบริเวณที่มีปริมาณของไนโตรบีมสูง และจะเกิดการแยกชั้นของผลึก NaNbO_3 ที่เป็นเฟสกึ่งเสถียรกับชั้นของแก้วซิลิกา ชั้นชั้นต่อไปนี้จะไปขึ้นยังกระบวนการแพร่และทำให้เกิดความเสถียรในโครงสร้างที่อุณหภูมิระหว่าง 750 – 800 องศาเซลเซียส จากการทดลองพบว่าแก้วเซรามิกที่มีความโปร่งแสงสูงจะให้ค่าคงที่ไฟฟ้าเชิงแสงดัชนีหักเหแบบไม่เป็นเส้นตรง และสัมประสิทธิ์การคัดกลืนแบบไม่เป็นเส้นตรงที่มีค่าสูง

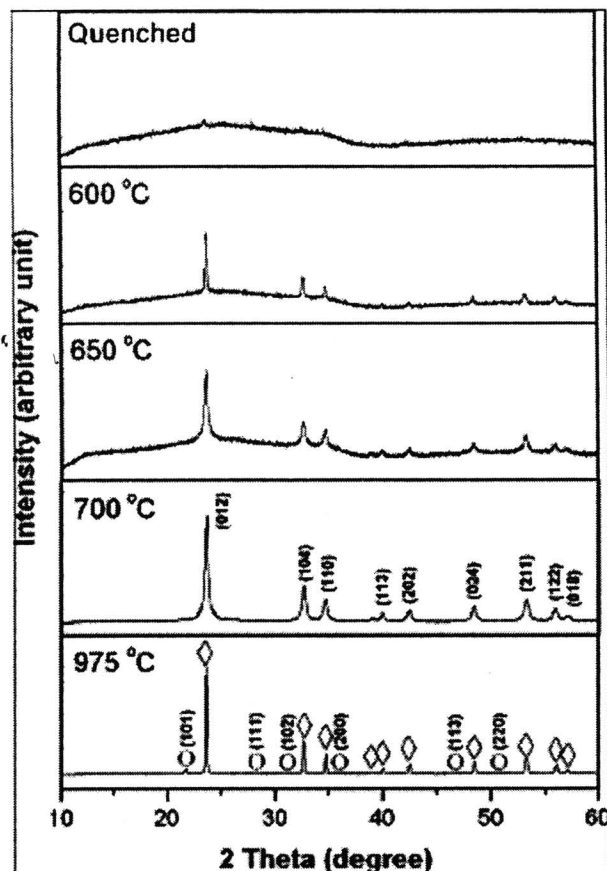
ในปีคริสตศักราช 2009 Prapitpongwanich และคณะ [52] ได้ทำการศึกษาผลึกเฟอร์โรอิเล็กทริกลิตี้ในไอบেตในระบบแก้ว $(100-x)\text{LiNbO}_3 - x\text{SiO}_2$ โดย x มีค่าประมาณร้อยละ 20 – 35 โดยโนล ชั้นการเตรียมวิธีนี้เรียกว่าอินคอร์ปอเรชัน (incorporation method) การทดลองเริ่มจาก การหลอมสารผสมที่อุณหภูมิ 1300 – 1350 °C ในถ้วยหลอมทองคำขาว น้ำแก้วที่ได้จะถูกทำให้เย็นอย่างรวดเร็วในเบ้าท้องเหลืองโดยการกดทับ นำชิ้นงานไปให้ความร้อน (preheat) ที่อุณหภูมิประมาณ 550 °C เป็นเวลา 1 ชั่วโมง ด้วยอัตรา 1 K-min^{-1} ชิ้นงานที่ผ่านการให้ความร้อนแล้วจะถูกนำไปอบอ่อน (anneal) ที่อุณหภูมิ 580 ถึง 975 °C เป็นระยะเวลา 1 ชั่วโมง โดยใช้อัตราเพิ่มขึ้นแล้วลดลงของอุณหภูมิเท่ากับ 10 K-min^{-1} ชิ้นงานที่ได้มีลักษณะดังรูปที่ 2.18



รูปที่ 2.18 ลักษณะชิ้นงานที่ผ่านการอบอ่อนที่อุณหภูมิที่แตกต่างกัน

จากนั้นจึงนำชิ้นงานไปวิเคราะห์ห้องคป์ประจำบอนด์ด้วย XRD ผลการวิเคราะห์แสดงดังรูปที่ 2.19 จะเห็นว่าพีคที่เกิดขึ้นตรงกับมาตรฐาน JCPDS หมายเลข 20-0631 ซึ่งเป็นองค์ประจำบอนด์ของ LiNbO_3 แต่หลังจากการอบอ่อนที่อุณหภูมินากกว่า 975 °C พบร่วมกับมีโครงสร้างของคริสโตบাইลิต (cristobalite) เกิดขึ้นแทรกกับโครงสร้าง LiNbO_3 ซึ่งโครงสร้างคริสโตบ้าไไลต์นี้ตรงกับ

มาตรฐาน JCPDS หมายเลข 82-0512 เมื่อทำการศึกษาโครงสร้างทางชุลภาคด้วยเทคนิค SEM พบว่าแก้วเหล่านี้มีผลึกที่เล็กในระดับนาโนเมตร โดยขนาดของแก้วจะแตกต่างกันตามอุณหภูมิที่ใช้ในการอบอ่อน ผลของอุณหภูมิอยู่อ่อนต่อขนาดผลึกแสดงให้เห็นดังตารางที่ 2.3

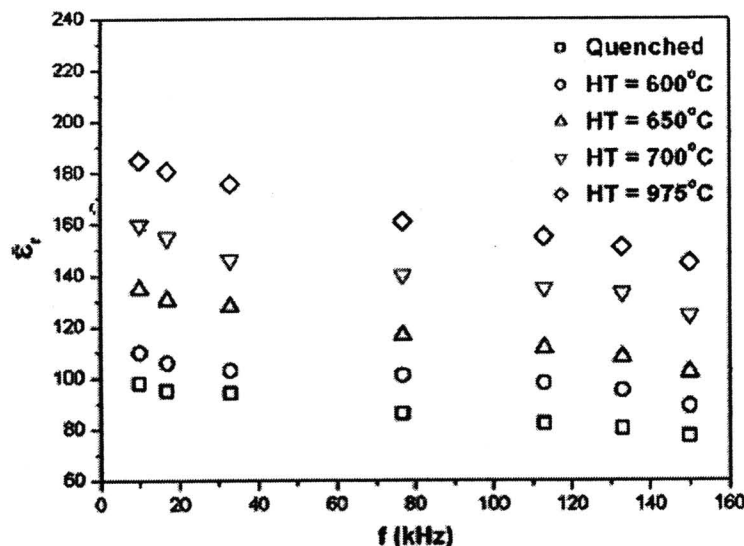


รูปที่ 2.19 รูปแบบการเดี่ยวบนของรังสีเอกซ์ในแก้วที่ผ่านการอบอ่อนที่อุณหภูมิที่แตกต่างกัน

ตารางที่ 2.3 ตารางแสดงขนาดผลึกของแก้วที่ผ่านการอบอ่อนที่อุณหภูมิต่างๆ

SiO_2 concentration in mol%	Mean crystallite sizes (in nm) of annealed samples			
	600 °C	650 °C	700 °C	975 °C
20	15	20	35	42
25	14	23	37	43
30	17	26	42	>50
35	25	47	48	>50

ในรายงานยังได้ทำการศึกษาลีสัมบัติทางไฟฟ้าของเก้าวที่อุณหภูมิอบอ่อนแตกต่างกัน ดังแสดงในรูปที่ 2.20 พบว่าชิ้นงานที่ผ่านการอบอ่อนจะมีค่าไอดิเล็กทริกที่สูงกว่าชิ้นงานที่ไม่ผ่านการอบอ่อน และค่าคงที่ไอดิเล็กทริกจะมีค่าสูงขึ้นตามอุณหภูมิอบอ่อนและจะแสดงค่าที่ลดลงตามความถี่ที่เพิ่มสูงขึ้น จากการทดลองพอสรุปได้ว่าค่าคงที่ไอดิเล็กทริกของเก้าวนินคืนอยู่ในช่วงระหว่าง 75 – 190



รูปที่ 2.20 รูปแสดงค่าคงที่ไอดิเล็กทริกที่มีการเปลี่ยนแปลงกับความถี่ของเก้าวที่ผ่านการอบอ่อนที่อุณหภูมิที่แตกต่างกัน